SÉRIE ZONEAMENTO AGROECOLÓGICO

NOVEMBRO 1981

DOCUMENTO 02



GOVERNO DO ESTADO DO PIAUÍ

SECRETARIA DE AGRICULTURA

DISTRIBUIÇÃO ESPACIAL DAS PRECIPITAÇÕES ANUAIS NO PIAUÍ

CARACTERIZAÇÃO E MODELOS



Comissão Estadual de Planejamento Agricola do Piaui - CEPA - PI Fundação Vinculada a Secretaria de Agricultura

..57728122

'2d

17

de Pesquisa Agropecuaria do Trópico Semi-Árido / EMBRAPA

1984.00353

dsacio

FUNDAÇÃO CEPA - PI.

Coord, Estatística e Documentação

Bibiroteca — Doação

GOVERNO DO ESTADO DO PIAUI

SECRETARIA DE AGRICULTURA

DISTRIBUIÇÃO ESPACIAL DAS PRECIPITAÇÕES ANUAIS NO PIAUL

CARACTERIZAÇÃO E MODELOS

EVARISTO EDUARDO DE MIRANDA

JOSÉ TADEU SANTOS OLIVEIRA

JOAQUIM DE SOUSA MIRANDA

RICARDO JOÃO SOARES BARROS

COLABORADORES:

DULFE LUSTOSA NOGUEIRA-Eng^Q Agr^Q da CEPA-PI JOSÉ DE ARIMATÉA ALVES SARAIVA - Eng^Q Agr^Q da CIDAPI CARLOS ALBERTO DE OLIVEIRA-Estatístico do CPATSA / EMBRAPA

Eng^Q Agr^Q, Doutor em Ecologia-Pesquisador do CPATSA / EMBRAPA

Engº Agrº da CEPA- PI

Engº Agrº da CEPA−PI

**** Estatístico - Téc. em Planej Agrícola da CEPA-PI





RESUMO

Este trabalho apresenta quatro (4) equações capazes de estimar as precipitações anuais para qualquer ponto do Estado, partindo unicamente de seus parâmetros de lo calização geográfica. Ajustadas "in situ", elas foram elaboradas para uma área de 460.000 km² que engloba todo o Estado do Piauí e partes dos estados limítrofes, do Maranhão, Ceará, Pernambuco e Bahia. Cada equação tem a forma:

 $Y = X\beta + \xi;$ $Y \in \text{um vetor aleatório};$ $X \in \text{uma matriz n x p};$ $\xi \in \text{um vetor p x l};$ $\xi \in \text{um vetor aleatório N(0, \mathcal{O}^2 I)}.$

No estudo, a matriz X foi composta pelas variáveis: distância, ângulo, altitude, coordenadas cartesianas e suas interações com relação a uma estação de referência. Nas regiões estudadas as equações obtidas permitem uma estimação das precipitações anuais com um desvio médio de aproximadamente 10% para o conjunto das estações estudadas.

SUMMARY

This work presents four (4) equations able to estimate the yearly precipitations for any place of the state, beginning only from their parameters of geographical localization. Adjusted "in situ", they were elaborated for an area of 460.000 km² that includes all the state

1 - INTRODUÇÃO

Mais do que o nível das precipitações, o problema de sua variabilidade no tempo e no espaço vem sendo aponta do como uma das principais causas das secas que periodi camente atingem a região semi-árida do Nordeste. Apesar de muitos trabalhos terem sido dedicados a esse proble ma, a grande maioria se limita a examinar a questão da variabilidade temporal das chuvas (probabilidades de chu va, cíclos de secas, prognósticos de chuvas, etc.) sem abordar a importante e complementar questão da variabili dade espacial das precipitações.

Somente o conhecimento dos padrões de distribuição es pacial e temporal das precipitações pode permitir uma me lhor adaptação do homem do campo, através de sistemas de cultivo e de produção adequados, ao problema do risco climático, entendido no seu sentido físico.

Isto é bastante claro no caso de trabalhos de preser vação de recursos hídricos (açudes, barragens, barrei ros, cisternas), frequentemente necessários em localida des que não possuem pluviômetros. Seu dimensionamento depende, em última instância, de uma estimativa das precipitações, o que normalmente é feito através da interpolação de isoietas. Essa interpolação não é satisfatória, pois os mapas disponíveis foram realizados a peque na escala (1/2.000.000 ou mais) (NIMER 1979), utilizando parcialmente a rede atual (mapas antigos) e na realida de tratam-se frequentemente de mapas de isolinhas (não levam em consideração o relevo).

2 - OBJETIVOS E HIPÓTESES

Partindo da hipótese de que a distribuição espacial das precipitações no Trópico Semi-Árido não é aleatória, pesquisadores do Centro de Pesquisa Agropecuária do Trópico Semi-Árido (CPATSA/EMBRAPA), vêm desenvolvendo trabalhos com vistas à determinação matemática dos padrões de distribuição espacial das chuvas (MIRANDA & OLIVEIRA 1981a), através de modelos estatísticos ajustados "in situ" (AFCET, 1977) que permitem estimar as precipitações anuais de uma localidade, partindo-se unicamente de seus dados de localização (MIRANDA & OLIVEIRA, 1981b).

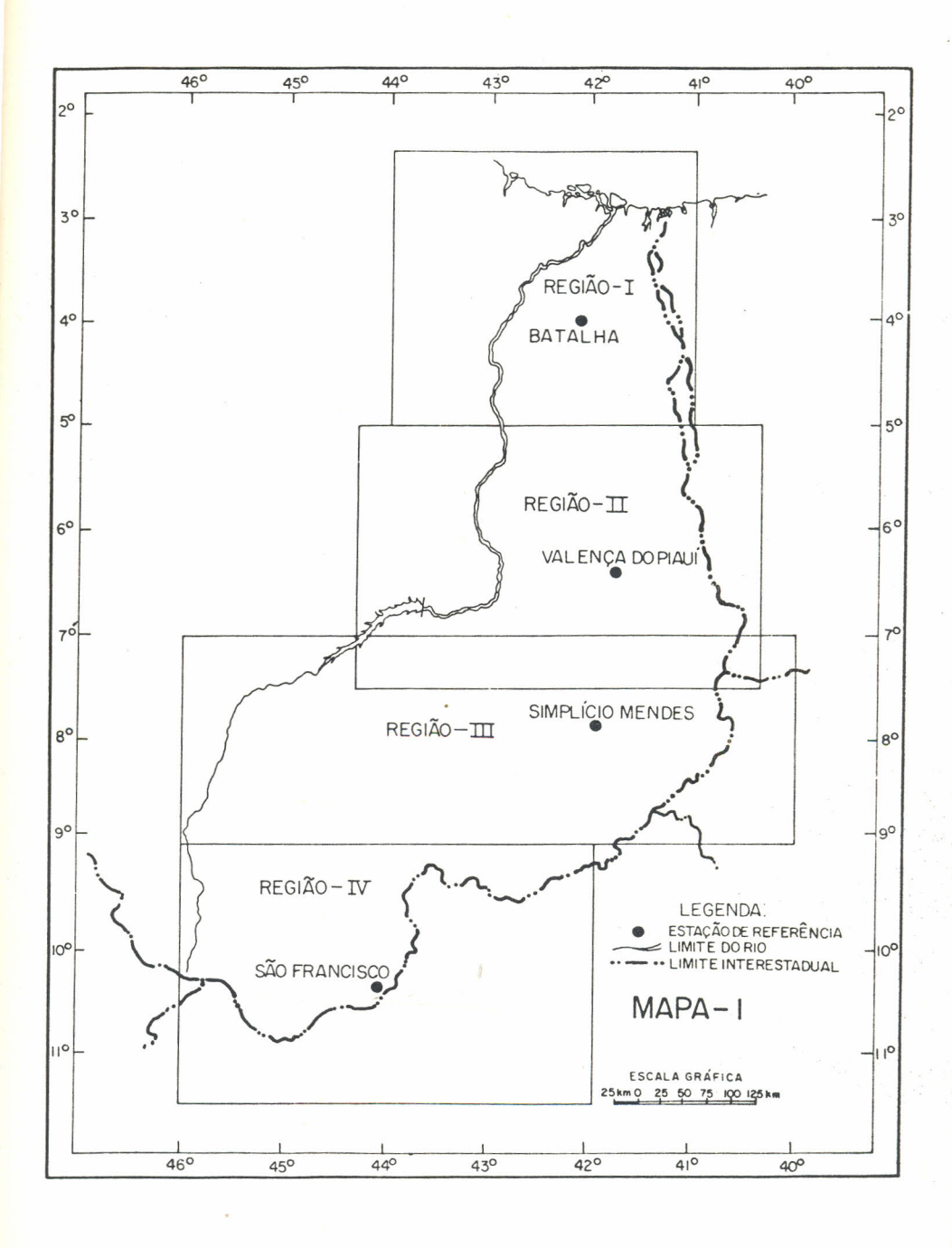
Após examinar-se a viabilidade de um trabalho análogo para o Estado do Piauí, decidiu-se, numa primeira fase, dividir o Estado em 4 regiões e ter como objetivo principal a obtenção de um modelo matemático simples por região, capaz de estimar a precipitação anual para qualquer parte dessa área, através unicamente de seus parâmetros de situação espacial, considerados na escala de 1/1.000.000.

As regiões delimitadas ultrapassam ligeiramente as fronteiras do Estado e tiveram suas áreas centradas nas localidades de Batalha, Valença do Piauí, Simplício Mendes e São Francisco (mapa 1). Receberam, respectivamente, denominações de REGIÃO I, REGIÃO II, REGIÃO III e REGIÃO IV e suas principais características são indicadas a seguir:

Região I - entre os paralelos 2º30' e 5ºS e entre os

- meridianos 41° e 44°W compreendendo uma area de aproximadamente 71.550 km²;
- Região II entre os paralelos 5º e 7º30'S e meridianos 40º20' e 44ºW compreendendo uma área de aproximadamente 122.160 km²;
- Região III entre os paralelos 7º e 9ºS e meridianos 40º e 46ºW compreendendo uma área de aproximada mente 148.300 km²;
- Região IV entre os paralelos 9º e 11º30'S e meridia nos 42º e 46ºW compreendendo uma área de aproximadamente 122.430 km².

As principais etapas metodológicas do estudo são $r\underline{e}$ sumidas na Figura 1.



OBJETIVO PRINCIPAL

OBTER UM MODELO SIMPLES CAPAZ DE ESTIMAR AS PRECIPITAÇÕES ANUAIS DE UMA LOCALIDADE PARTINDO UNICAMENTE DE SUA LOCALIZAÇÃO.

ANÁLISE DE DADOS DISPONÍVEIS

REDE PLUVIOMÉTRICA DADOS PLUVIOMÉTRICOS MÉDIAS E COEFICIENTES DE VARIAÇÃO

OBTENÇÃO DE DADOS COMPLEMENTARES

DISTÂNCIA, ALTITUDE, ÂNGULO E COORDENADAS CARTESIANAS DOS POSTOS EM RELAÇÃO A UMA ESTAÇÃO DE REFERÊNCIA.

ELABORAÇÃO DOS MODELOS

PARÂMETROS SELECIONADOS PARA OS MODELOS

Y * PRECIPITAÇÕES ANUAIS MÉDIAS (Y)

X, . DISTÂNCIA

X2 * ALTITUDE X3 - ANGULO

X4 - ABSCISSA

X5 - ORDENADA

X . ANGULO X7 = ANGULO

· ORDENADA ALTITUDE

X8 - DISTÂNCIA . ALTITUDE X9 - ANGULO . ABSCISSA

XIO . ANGULO

DISTÂNCIA

XII - ANGULO

ABSCISSA . ORDENADA

MODELOS OBTIDOS

REGIÃO I : Y =1.785,66-2,50X1-0,30X2-3,22X4

REGIÃO II : Y=1.162,95 - 2,94X1 - 0,74X2+0,55%3 - 1,95X4+0,007X6+0,007X8

REGIÃO III : Y = 680,56+ 0,27X + 0,01 X - 0,83X4

REGIÃO IV : Y = 926,91 - 0,66X4 - 0,97X5-0,000062X9

TESTE DOS MODELOS

REGIÃO I : R = 0,83, AJUSTE MÉDIO = 8,24% REGIÃO II : R = 0,88, AJUSTE MÉDIO = 13,9% REGIÃO III : R = 0,81 , AJUSTE MÉDIO = 13,43% REGIÃO IV : R = 0,84, AJUSTE MÉDIO = 11,38%

FIGURA 1 - ETAPAS METODOLÓGICAS DO ESTUDO

3. MÉTODOS

3.1 - Análise dos Dados Disponíveis

Os dados pluviométricos de base foram fornecidos pelo Banco de Dados da Divisão de Hidrometeorologia da SUDENE e homogeneizados pelo método do "Vetor Regional" pela equipe da CEPA-PI (MIRANDA et alii, 1981).

Apesar da homogeneização dos dados pluviométricos, é importante notar que a rede pluviométrica do Estado é de criação recente. Cerca de 86% dos postos que constituem a rede oficial têm menos de 30 anos de existência e constata-se uma fraca densidade de postos (1 pluviôme tro/1.200 km² aproximadamente).

Os valores pluviométricos da rede oficial do Estado têm uma média de 930,7 mm, com um desvio padrão de 322,5mm e extremos que vão de 437,0 mm a 2.157,0 mm. Para cada uma das regiões estudadas estes dados apresentam-se da seguinte forma:

REG IÃO	MĒDIAS PLUVIOMĒ TRICAS ANUAIS (mm)	DESVIO PADRÃO (mm)	EXTREMOS DE PRE CIPITAÇÃO ANUAL (mm)
I	1.320,6	290,0	731,0 - 2.157,0
II	928,3	346,4	437,0 - 1.898,0
III	779,3	196,5	448,0 - 1.461,0
IV	908,0	229,8	537,0 - 1.586,0
ESTADO	930,7	322,5	437,0 - 2.157,0

Quando plotados no mapa do Estado, os valores media nos das precipitações indicam um crescimento progressi vo das chuvas no sentido Noroeste, em função do gradien te climático que se estabelece na medida em que se dei xa a região semi-árida em direção da Amazônia. Toda via, esse gradiente climático comporta muitas gradações em vários sentidos, ligadas à altitude, à existência de obstáculos orográficos, etc ... (mapas 2, 3, 4 e 5).

3.2 - A Obtenção de Dados Complementares

A estimativa das precipitações anuais de qualquer ponto localizado em qualquer uma das 04 regiões estuda das, a partir unicamente de sua posição geográfica, exigiu a integração de parâmetros espaciais que foram calculados em função de estações de referência.

BATALHA, VALENÇA DO PIAUÍ, SIMPLÍCIO MENDES e SÃO FRANCISCO, dadas suas posições geográficas e a larga série de dados disponíveis, foram escolhidas como estações de referência das regiões I, II, III e IV respectivamente. Em seguida, para cada posto, foram calculados seus parâmetros espaciais, tendo o Mapa Hipsométrico ao Milionésimo como base (Instituto Brasileiro de Geografia e Estatística 1975).

Os parâmetros calculados (Fig. 2) para utilização posterior nos modelos foram:

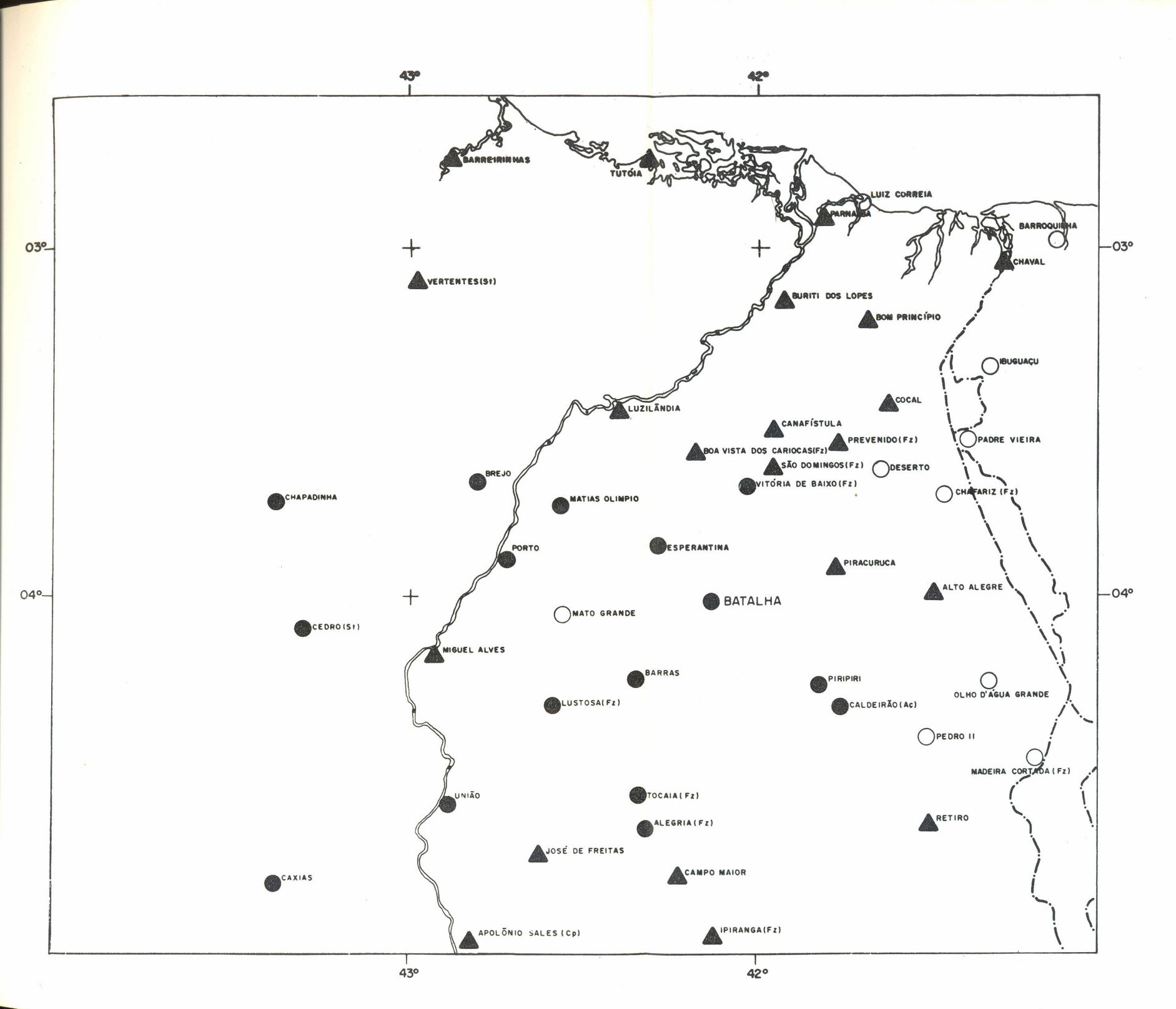
- distância, entre o posto e a estação de referência, em quilômetros;
- altitude, em metros;

- ângulo, entre o posto e a estação de referência, em graus;
- abscissa, do posto para a estação de referência, em quilômetros:
- ordenada, do posto para a estação de referência, em quilômetros.

A partir desses dados de base gerou-se um conjunto de interações, as quais também foram utilizadas nos modelos, como segue:

- ângulo * ordenada;
- ângulo * altitude;
- distância * altitude;
- ângulo * abscissa;
- ângulo * distância;
- ângulo * abscissa * ordenada.

Com esse conjunto de dados, completado pelos dados pluviométricos, constituiu-se um modelo empírico-lógico para cada uma das regiões do Estado, seguindo um procedimento que será exposto a seguir.

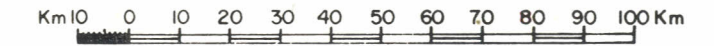


REGIÃO I

Variabilidade Espacial das Precipitações Anuais

Região de Batalha

ESCALA

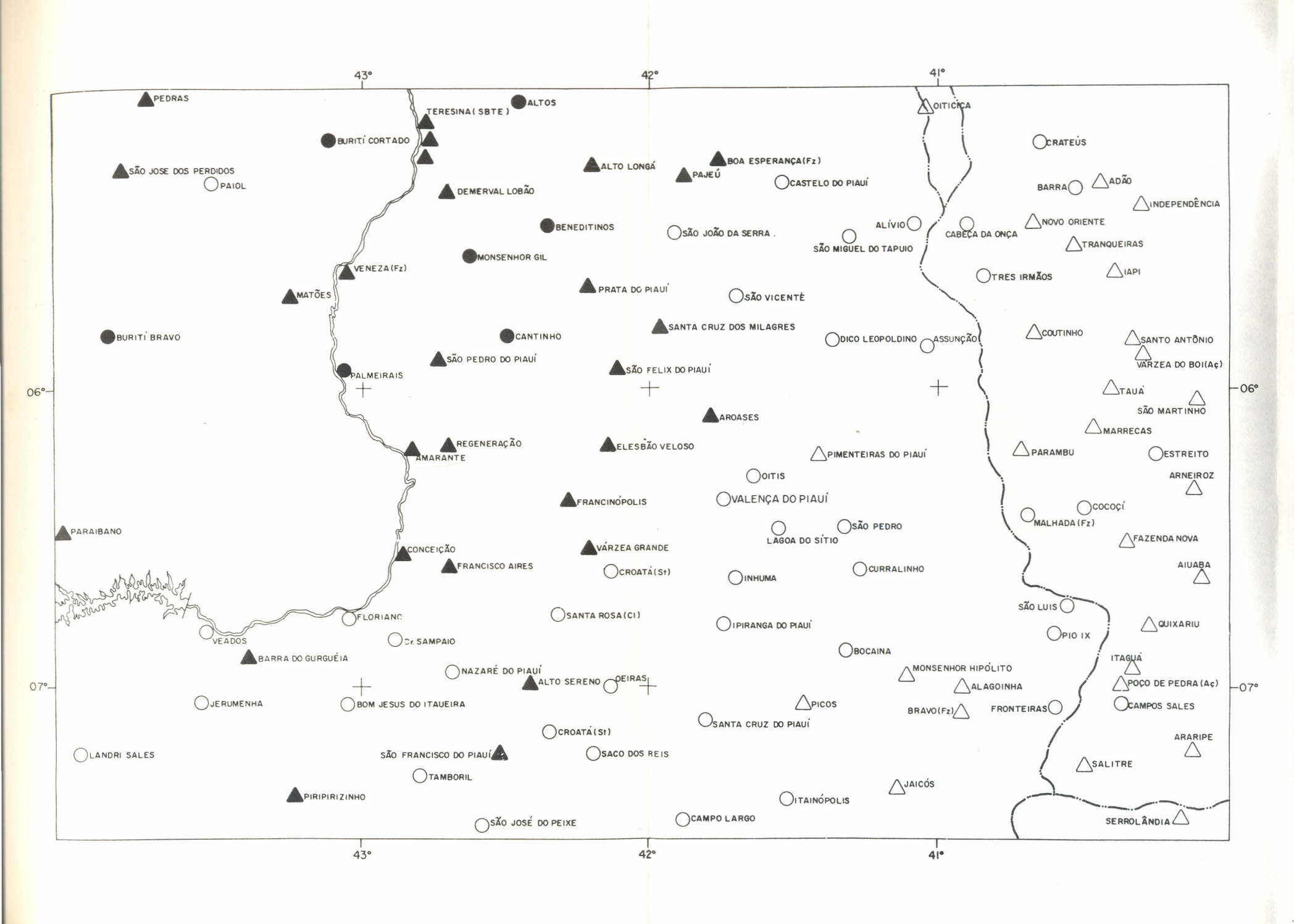


LEGENDA

650 a 1050 — 1050 a 1450 — 1450 a 1850 —

MAPA - 2

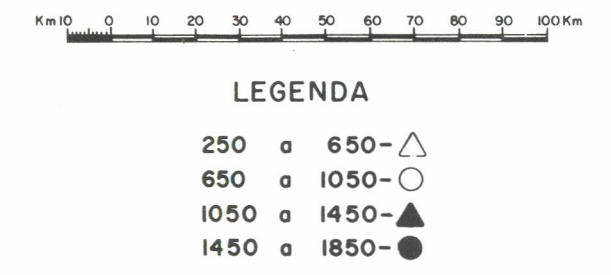
Desenho: Carlos Ramos



REGIÃO II

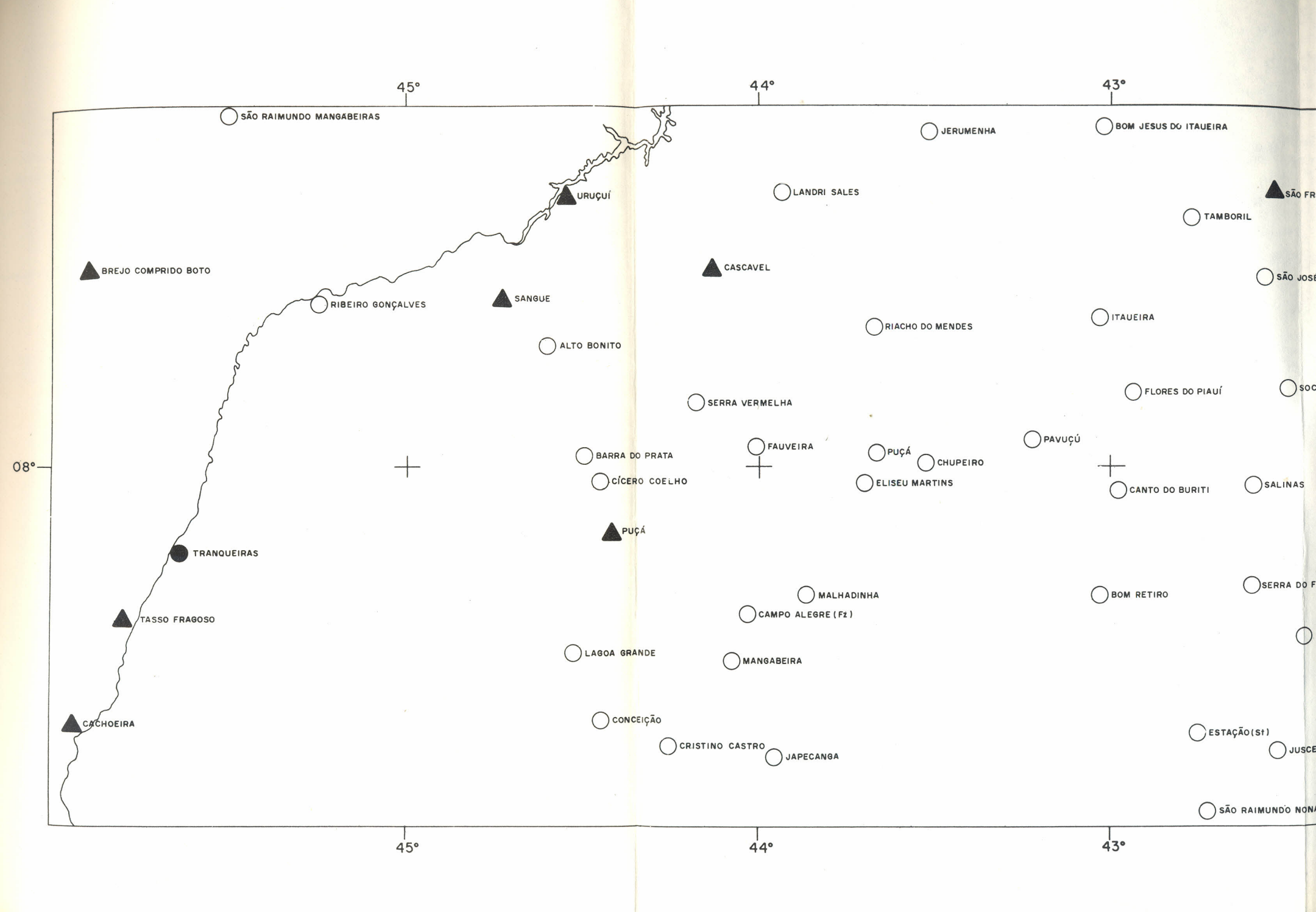
Variabilidade Espacial das Precipitações Anuais Região de Valença

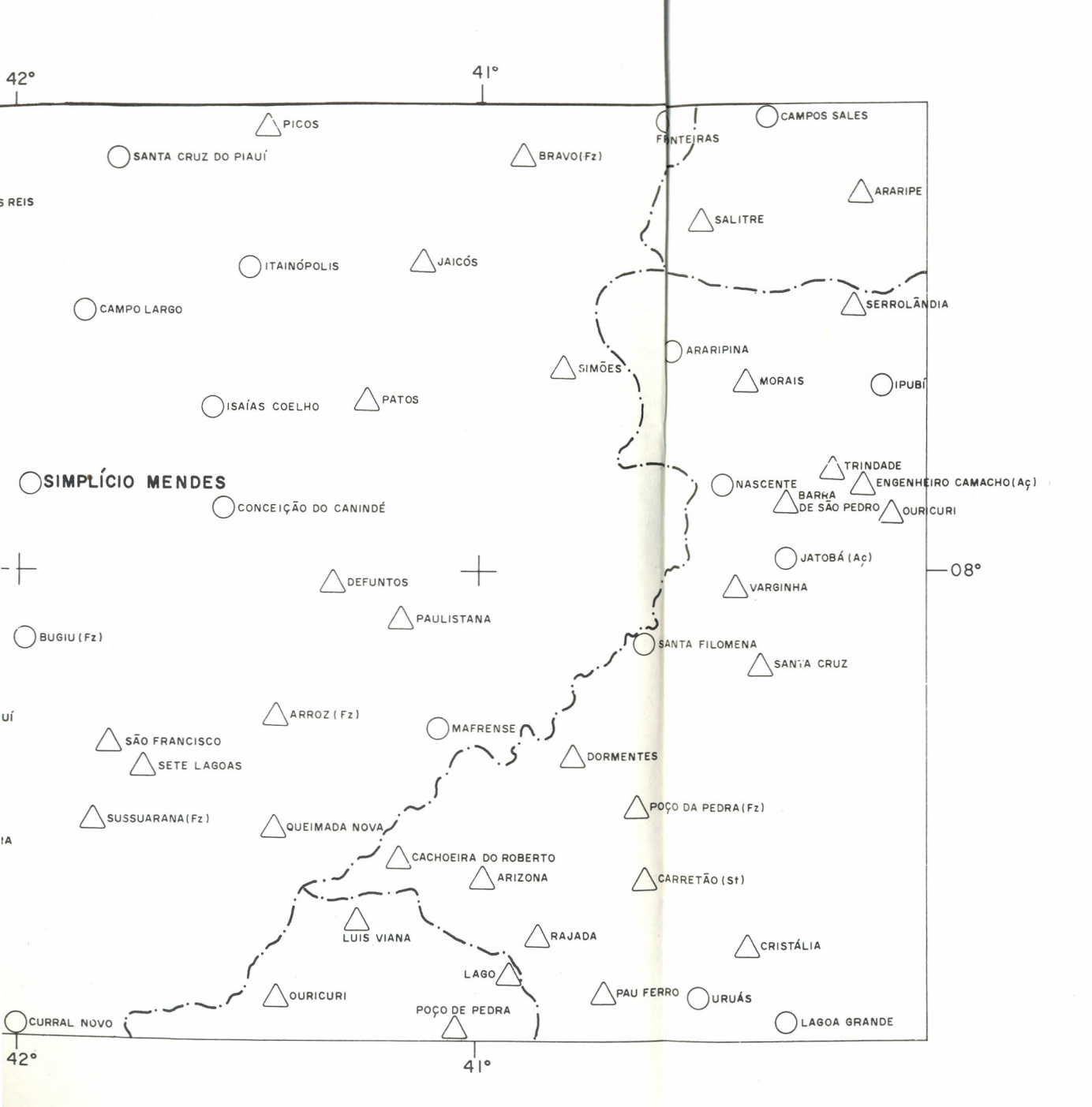
ESCALA



MAPA-3

Desenho: Carlos Ramos



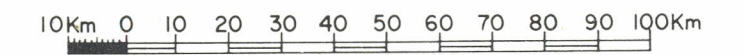


REGIÃO III

Variabilidade Espacial das Precipitações Anuais

Região de Simplício Mendes

ESCALA



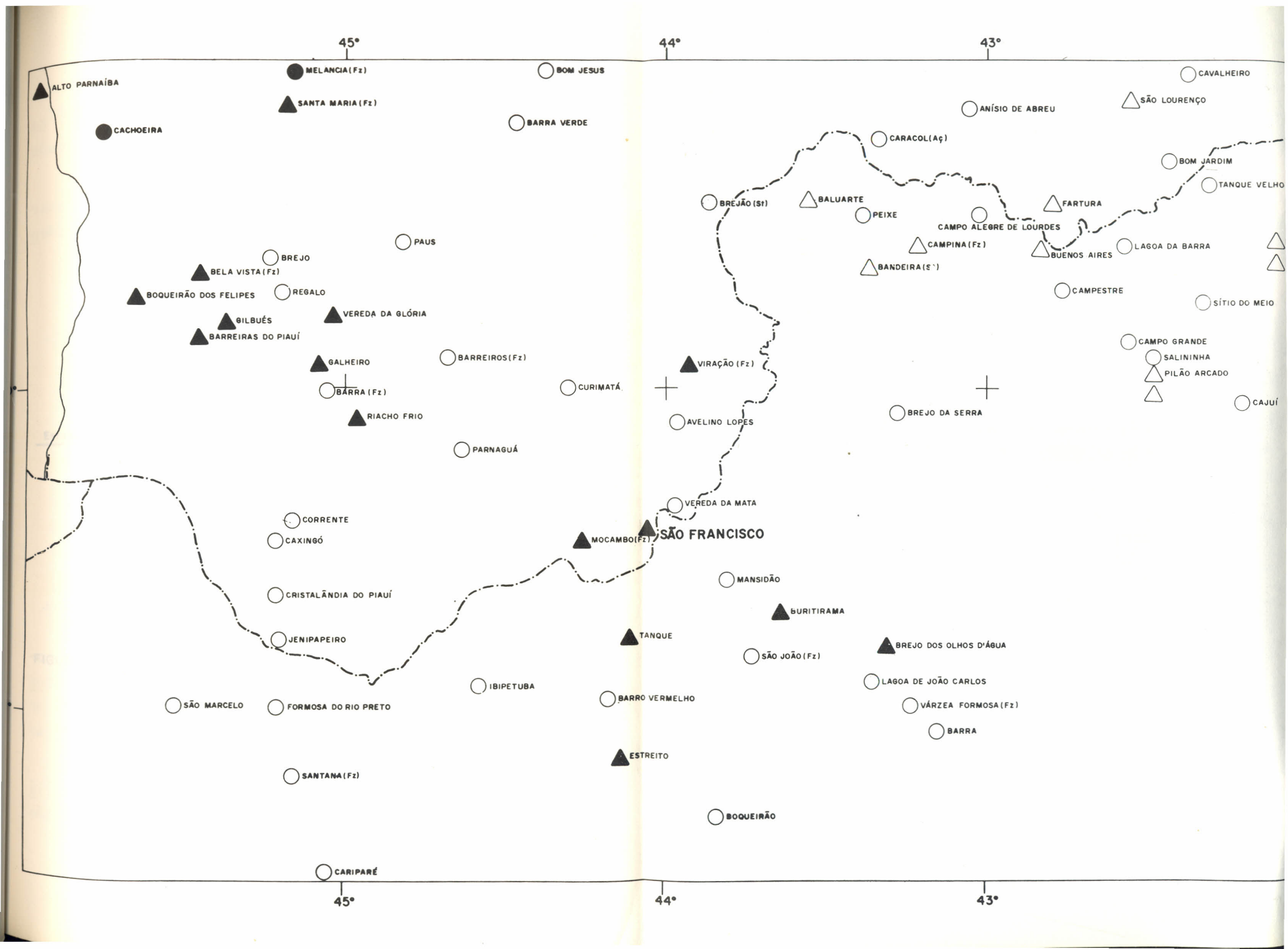
LEGENDA

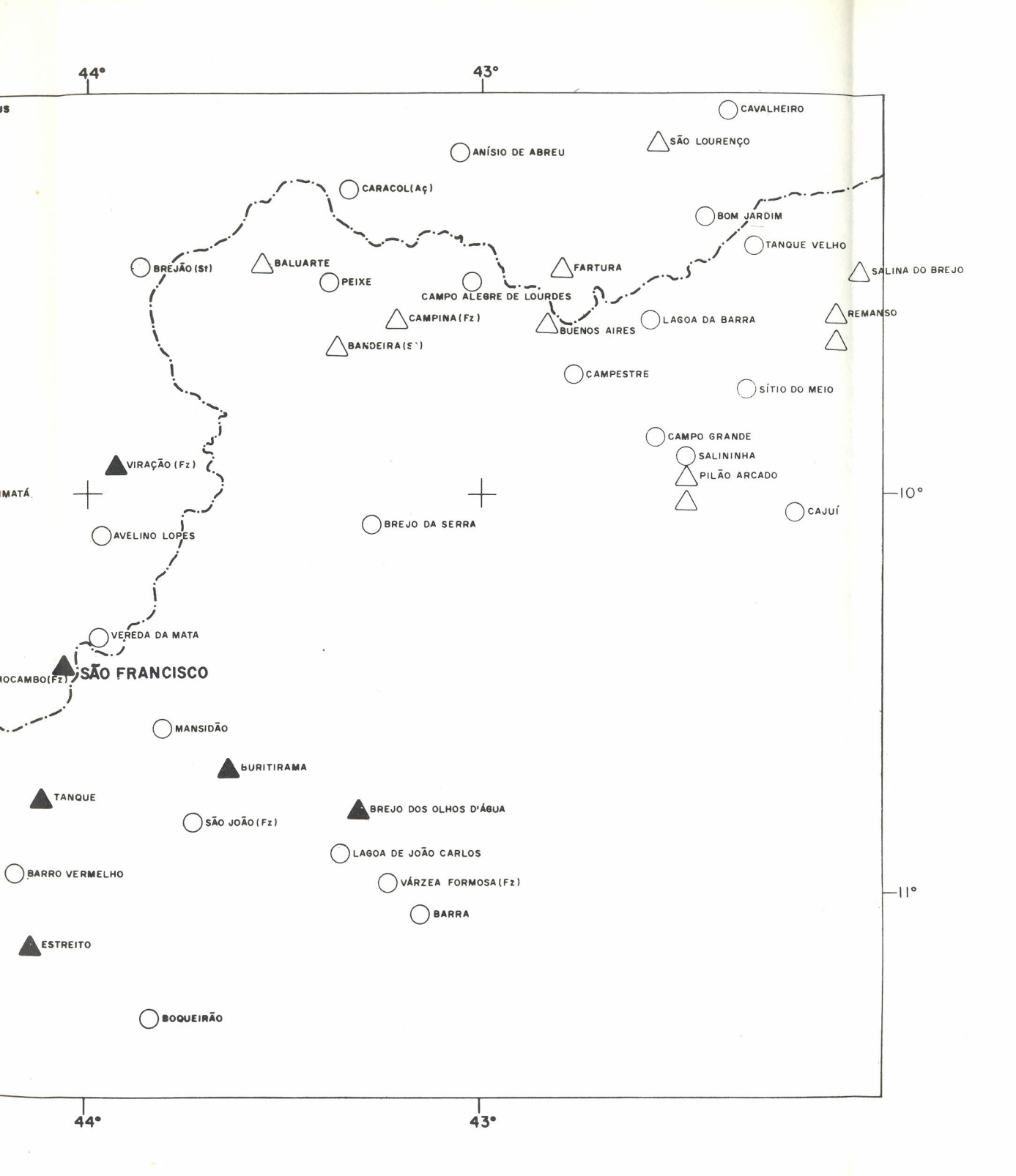
250 a 650 — △ 650 a 1050 — ○ 1050 a 1450 — ▲ 1450 a 1850 — ●

MAPA - 4

Desenho:

FRANCISCO FONTINELLE





REGIÃO IV

Variabilidade Espacial das Precipitações Anuais

Região de São Francisco

ESCALA

10Km 0 10 20 30 40 50 60 70 80 90 100Km

LEGENDA

250 a 650 — △ 650 a 1050 — ○ 1050 a 1450 — ▲ 1450 a 1850 — ●

MAPA-5

Desenho: FRANCISCO FONTINELLE

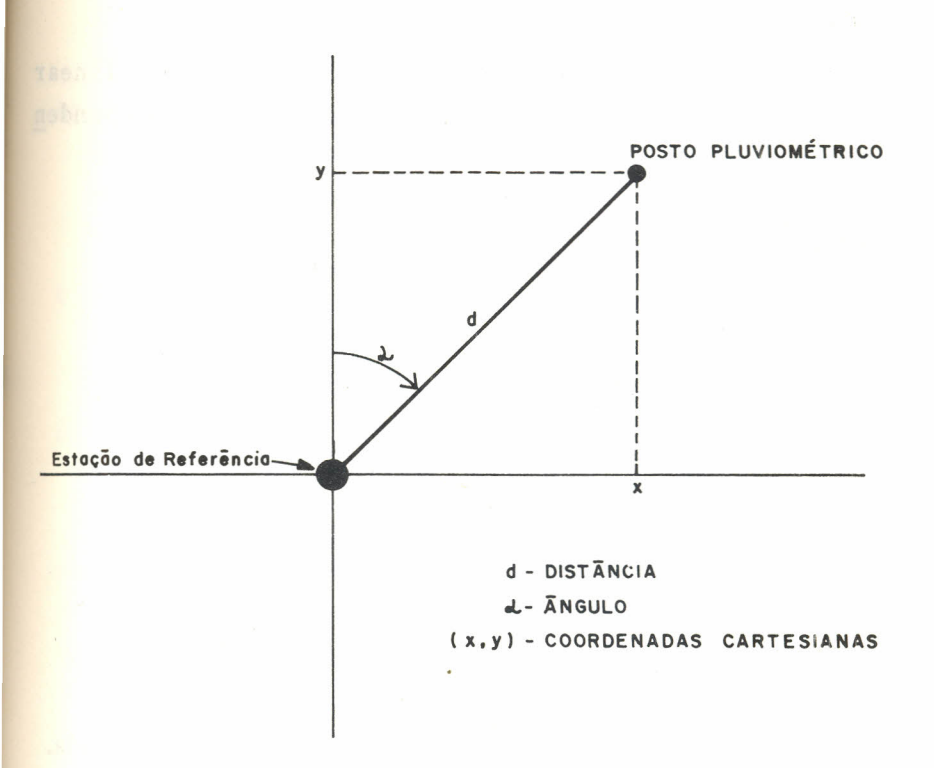


FIGURA 2 - PARÂMETROS ESPACIAIS CALCULADOS

3.3 - Construção dos Modelos

Dada a analogia existente entre a construção dos 04 modelos, o procedimento utilizado será descrito de modo geral no que se refere às 4 regiões.

O modelo adotado presume uma proporcionalidade linear das variáveis independentes para com a variável dependente e tem a forma:

Y = Xβ + ξ; Y é um vetor aleatório; X é uma matriz n x p: β é um vetor P x 1; ξ é um vetor aleatório N(O, 6²I).

A matriz X foi composta pelas variáveis:

X1 = Distância; X6 = Ângulo * Ordenada; X2 = Altitude; X7 = Ângulo * Altitude; X3 = Ângulo; X8 = Distância * Altitude; X4 = Abscissa; X9 = Ângulo * Abscissa; X5 = Ordenada; X10 = Ângulo * Distância; X11 = Ângulo * Abscissa * Ordenada.

Vale salientar que na análise estatística, em alguns casos, pode-se fazer necessária a normalização da função, isto é, uma transformação algébrica da variável dependente de modo a permitir melhor continuidade da função e, consequentemente, uma melhor distribuição (mais próxima da normal).

O método usado para determinar a ordem de inserção das vari<u>á</u> veis no modelo foi "Stepwise procedure" após termo-nos assegurado da inexistência de multicolinearidade entre as variáveis (DRAPER, 1966).

- a) Este método inicia-se com a determinação da matriz de <u>correla</u> ção, e a primeira variável Xi a entrar na regressão é a que apresentar a mais alta correlação com a resposta.
- b) Como segundo passo, determina-se a matriz de correlação parcial e seleciona-se, como próxima variável a entrar na regressão, a variável Xj com mais alto coeficiente de correlação parcial com a resposta.
- c) Dada a equação de regressão Y = f(Xi, Xj) para i = j, o método examina a contribuição da variável Xi, dado que a variável Xj já faz parte do modelo.
- d) Esse processo continua até a emergência da primeira variável não significativa.

Os dados utilizados foram codificados no Centro de Pesquisa Agropecuária do Trópico Semi-Árido e o tratamento foi realizado através do computador da Empresa Brasileira de Pesquisa Agropecuária existente na sua sede de Brasília.

4. RESULTADOS

4.1 - Modelos Obtidos

A análise estatística revelou que as correlações obtidas pelos modelos nas 4 regiões estudadas confirmam a importância dos parâmetros selecionados na determinação das precipitações. Os valores obtidos foram respectivamente:

```
Região I: R = 0,83;
Região II: R = 0,88;
Região III: R = 0,81;
Região IV: R = 0,84.
```

Estes valores são importantes na medida que comprovarem mais uma vez o alto nível de significância das variaveis consideradas.

Os testes T apresentaram as variáveis mais relevantes na determinação da precipitação (Ŷ), sendo observado para cada região o seguinte:

```
Região I: as variáveis X1,X4 e X2;
Região II: as variáveis X1,X3,X4,X2,X6 e X8;
Região III: as variáveis X1, X3 e X4;
Região IV: as variáveis X4, X5 e X9.
```

Util μ zou-se também o teste "F" para comparar o éfe \underline{i} to da inclusão de cada uma das variáveis quando as ou tras já estão no modelo. Assim sendo, obteve-se:

```
Região I: Variável distância (X1) - F = 13,83**;
Variável abscissa (X4) - F = 64,49**;
Variável altura (X2) - F = 2,35.
```

Região III: Variável distância (X1) - F = 2,06;
Variável ângulo (X3) - F =
$$30,16**$$
;
Variável abscissa (X4) - F = $132,08**$.

Os primeiros modelos ajustados para cada região, $f_{\underline{o}}$ ram:

```
Região I: \hat{Y}=204,66-2,50X1-0,3,0X2-3,22X4; Região II: \hat{Y}=230,95-2,94X1-0,74X2+0,55X3-1,95X4+0,007X6+0,007X8; Região III: \hat{Y}=22,56+0,27X1+0,01X3-0,83X4; Região IV: \hat{Y}=-172,09-0,66X4-0,97X5-0,000062X9.
```

Para estimar a precipitação pluviométrica (Ŷ) de qualquer ponto no Estado, deve-se somar a precipitação média da estação de referên

cia da região onde está inserido o ponto desejado, ao intercepto do modelo (mapa 6).

4.2 - Teste dos Modelos

Para cada região, o valor das precipitações anuais médias de cada posto que serviu à construção do modelo foi posteriormente estimado a partir de seus parâmetros de localização geográfica. Assim, o modelo estimou as precipitações anuais médias das quatro (4) regiões para o conjunto dos postos considerados em cada uma delas.

REGIÃO I

- A média dos desvios entre as precipitações observa da e estimada apresentou-se baixa (8,24%), indicando o excelente ajuste do modelo;
- 2. Com exceção dos postos Olho D'água Grande/PI e Brejo/MA, o desvio entre a média observada e a média estimada situou-se sempre abaixo de 20%, sendo que 67% dos postos apresentaram desvios inferiores a 10% (Fig. 3);
- 3. O desvio entre a média observada e estimada não $v\underline{a}$ riou com o nível das precipitações anuais (Fig. 3) e o modelo estimou de modo análogo as chuvas no $i\underline{n}$ tervalo aproximado de 700 mm a 1.820 mm.
- 4. O desvio entre a média observada e estimada parece independente do coeficiente de variação interanual das precipitações (Fig. 4).

- 5. O princípio de normalidade dos dados não foi violado (Fig. 5) e a análise pelo método dos mínimos quadra dos não parece invalidada (Box et alii 1978).
- 6. Enfim, a distribuição espacial dos desvios entre as precipitações observada e estimada não deixa apare cer nenhuma tendência local (mapa 7).

REGIÃO II

- A média dos desvios entre as precipitações observa da e estimada apresentou-se baixa (12,32%), mostran do assim, que o modelo utilizado foi adequado no ajuste das precipitações pluviométricas;
- 2. 84% dos postos tiveram seus desvios entre as médias observada e estimada abaixo de 20% e somente 14% apresentaram desvios entre 20% e 30% (Fig. 6);
- 3. Também nesta região, o desvio entre as médias observada e estimada não variou com o nível das precipitações (Fig. 6) e o modelo estimou semelhantemente as chuvas no intervalo de 490 mm a 1.500 mm.
- 4. Em análise gráfica (Fig. 7), o desvio entre as médias observada e estimada parece independente do coeficien te de variação interanual das precipitações;
- 5. O exame gráfico dos resíduos (Fig. 8) indica que o princípio de normalidade dos dados não foi violado e que a análise pelo método dos mínimos quadrados não parece invalidada (Box et alii 1978);

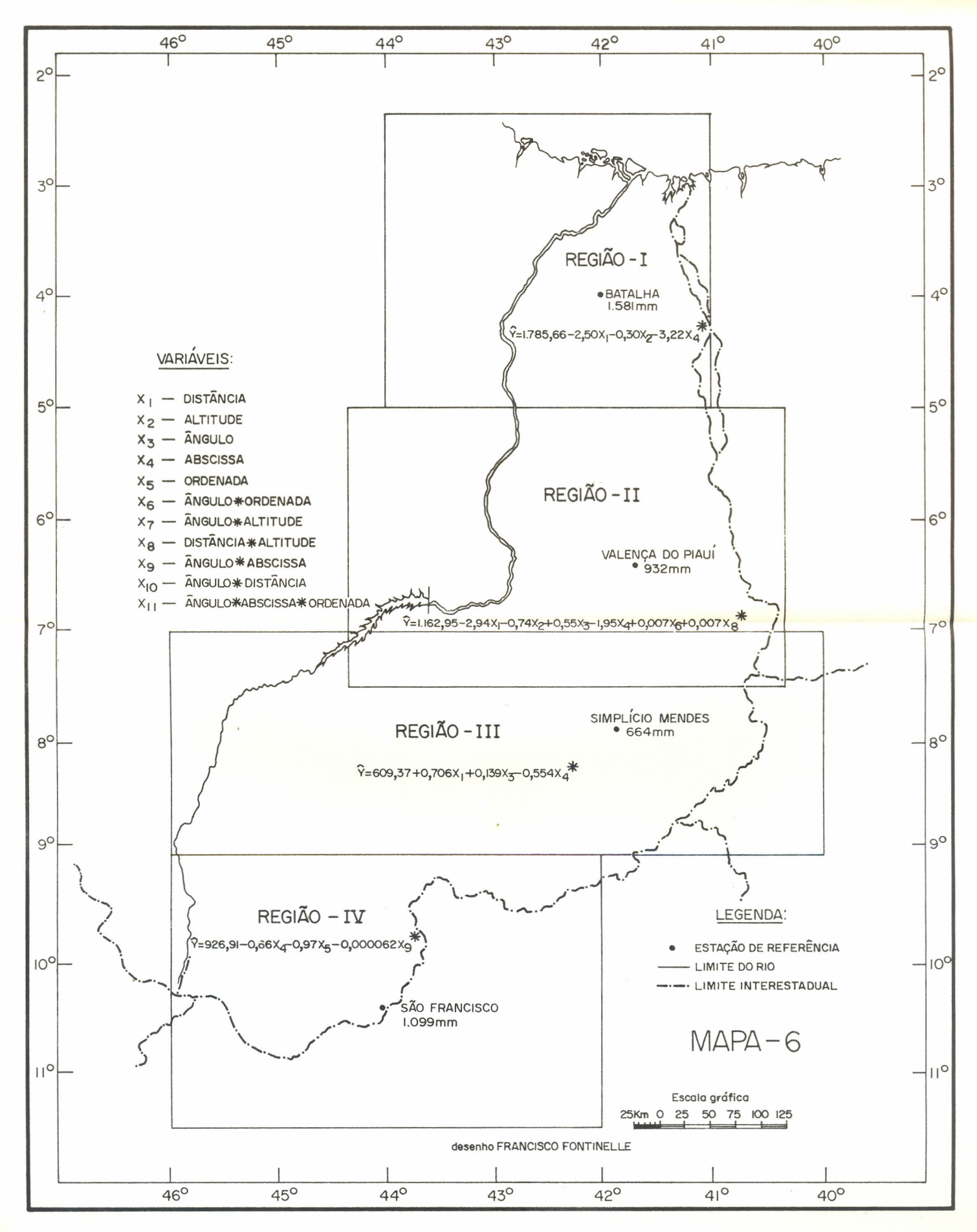
6. A distribuição espacial dos desvios entre as precipitações observada e estimada não deixa aparecer nenhuma tendência local (mapa 8).

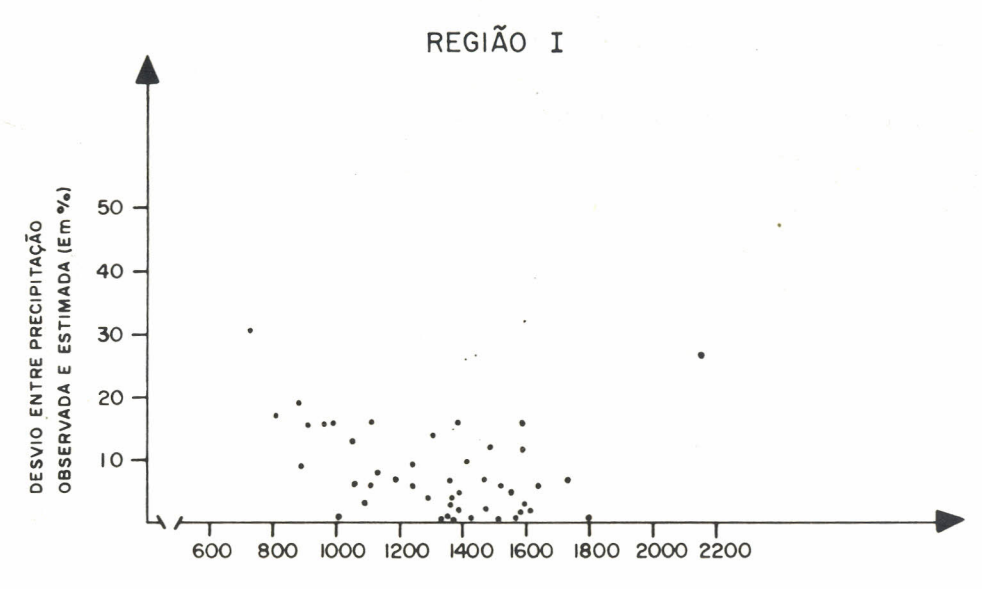
REGIÃO III

- 1. A média dos desvios entre as precipitações observada e estimada apresentou-se baixa (11,43%), provando que o modelo utilizado ajustou-se satisfatoriamente aos dados de precipitações observadas;
- 2. Dos 100 (cem) postos da região, apenas 09(nove) apresentaram o desvio entre a média das precipitações observada e estimada superior a 25%, sendo que 84% dos postos tiveram seus desvios abaixo de 20% (Fig. 9);
- 3. O desvio entre asmédias observada e estimada não variou com o nível das precipitações (Fig. 9) e o modelo estimou de modo análogo as chuvas no intervalo de 586 mm a 1.223 mm;
- 4. O desvio entre as médias observada e estimada parece independente do coeficiente de variação interanual das precipitações (Fig. 10);
- 5. A análise residual do modelo (Fig. 11) indica que o princípio da normalidade dos dados não foi violado e que a análise pelo método dos mínimos quadrados não parece invalidada (Box et alii 1978);
- 6. A distribuição espacial dos desvios entre as precipitações observada e estimada não deixa aparecer nenhuma tendência local (mapa 9).

REGIÃO IV

- 1. A média dos desvios entre as precipitações observada e estimada nesta região foi de aproximadamente 11%, o que indica um bom ajuste do modelo;
- 2. Dos 69 postos que constituem esta região, 80% tiveram seus desvios entre as médias observada e estimada \underline{a} baixo de 20% (Fig. 12);
- 3. No exame gráfico (Fig. 12), o desvio entre as médias observada e estimada não variou com o nível das preci pitações anuais e o modelo estimou de modo análogo as chuvas no intervalo de 568 mm a 1.515 mm;
- 4. O desvio entre as médias observada e estimada parece independente do coeficiente de variação interanual das precipitações (Fig. 13);
- 5. O princípio de normalidade dos dados não foi violado (Fig. 14) e a análise pelo método dos mínimos quadrados não parece invalidada (Box et alii 1978);
- 6. A distribuição espacial dos desvios entre as precipitações observada e estimada não deixa aparecer nenhuma tendência local (mapa 10).





MÉDIA DAS PRECIPITAÇÕES ANUAIS (Em mm)
• UMA ESTAÇÃO

FIGURA 3 - RELAÇÃO ENTRE DESVIO DA ESTIMAÇÃO E
A MÉDIA DAS PRECIPAÇÕES ANUAIS.

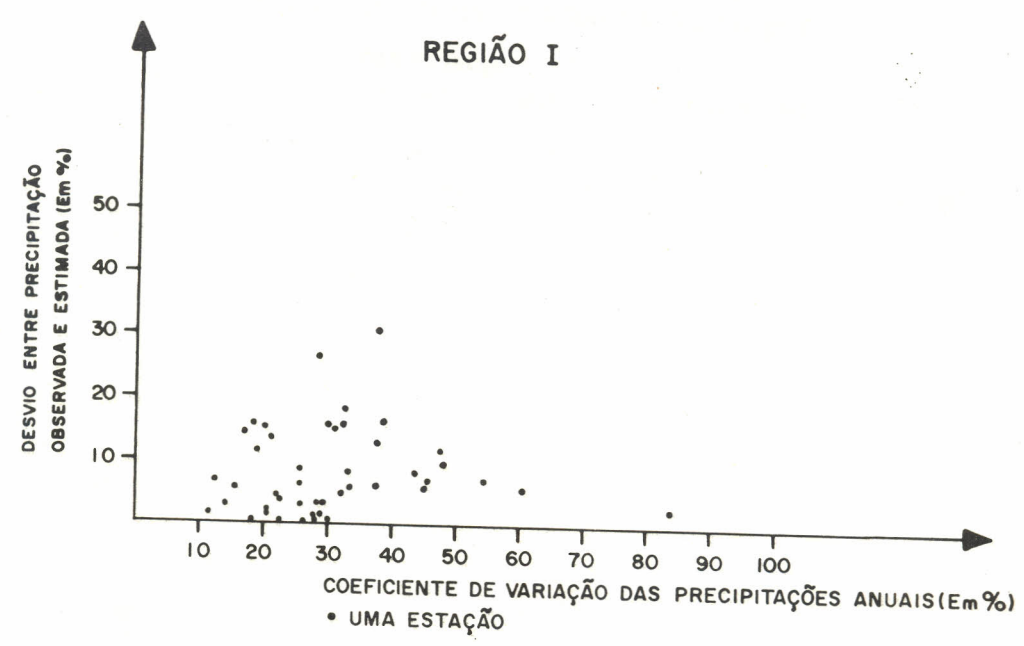
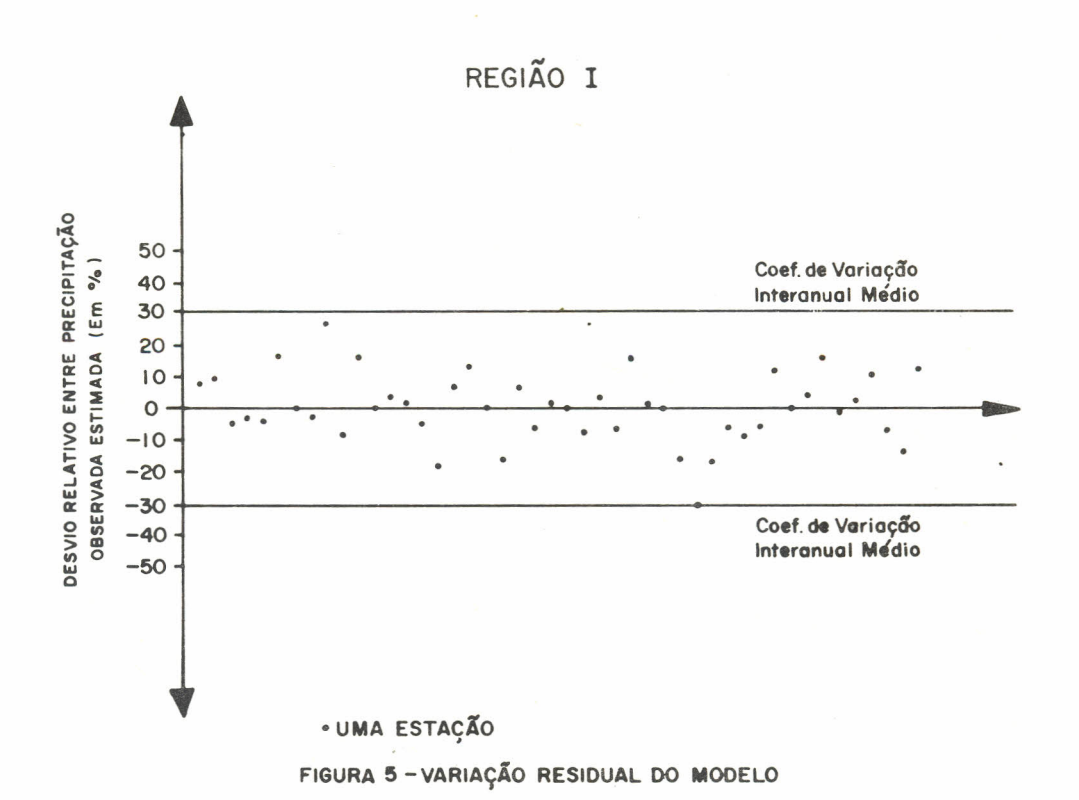
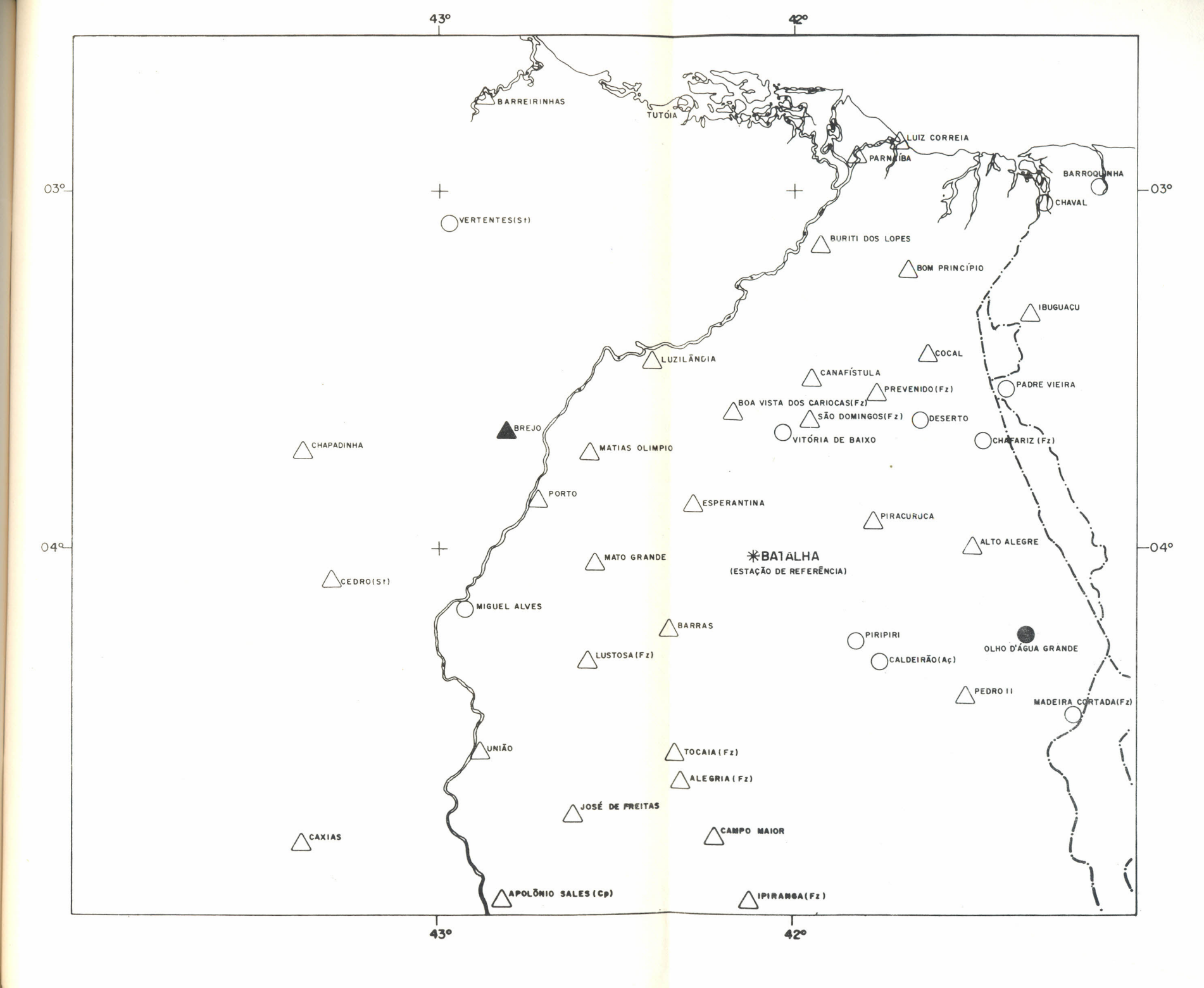


FIGURA 4 — RELAÇÃO ENTRE O DESVIO DA ESTIMAÇÃO E O COEFICIENTE DE VARIAÇÃO DAS PRECIPITAÇÕES ANUAIS



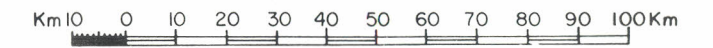


REGIÃO I

Distribuição Espacial dos Desvios entre a Precipitação Observada e Estimada

Região de Batalha

ESCALA



LEGENDA

Desvios Absolutos em %

O a 10 - \triangle

10 a 20 - \bigcirc

20 a 30 - ▲ >30 - ●

MAPA - 7

Desenho: Carlos Ramos

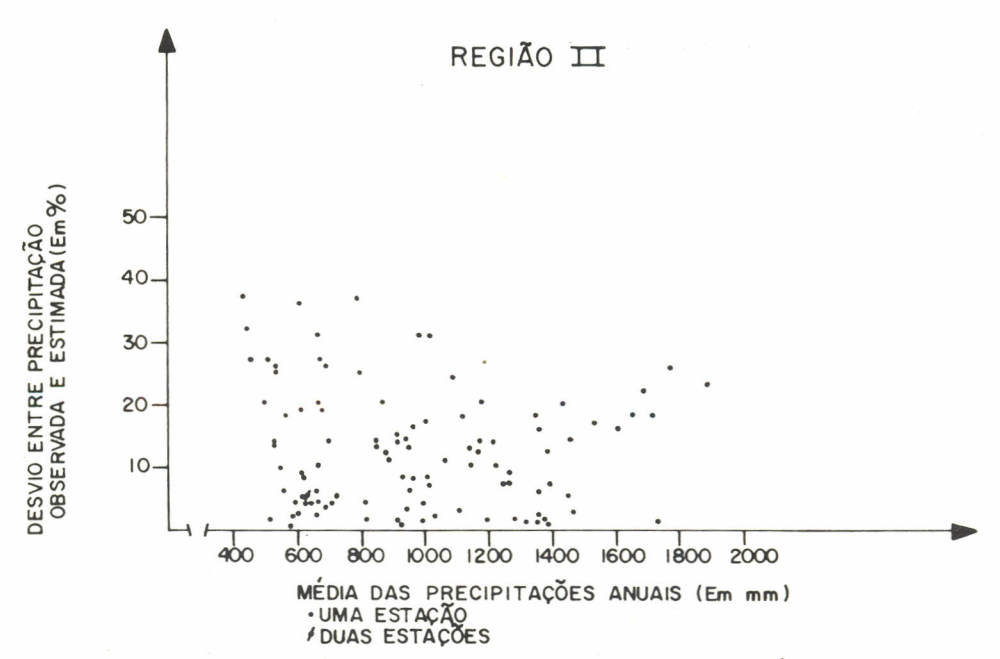


FIGURA 6 -RELAÇÃO ENTRE DESVIO DA ESTIMAÇÃO E A MÉDIA DAS PRECIPITAÇÕES ANUAIS

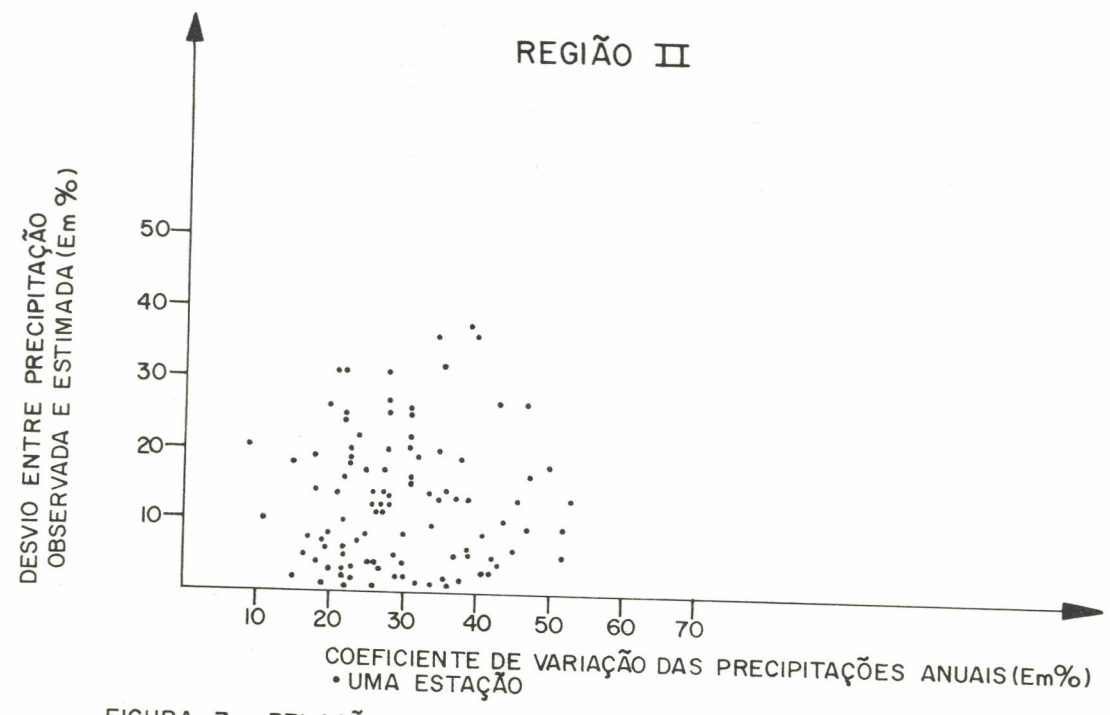


FIGURA 7 - RELAÇÃO ENTRE O DESVIO DA ESTIMAÇÃO E O COEFICIENTE DE VARIAÇÃO DAS PRECIPITAÇÕES ANUAIS

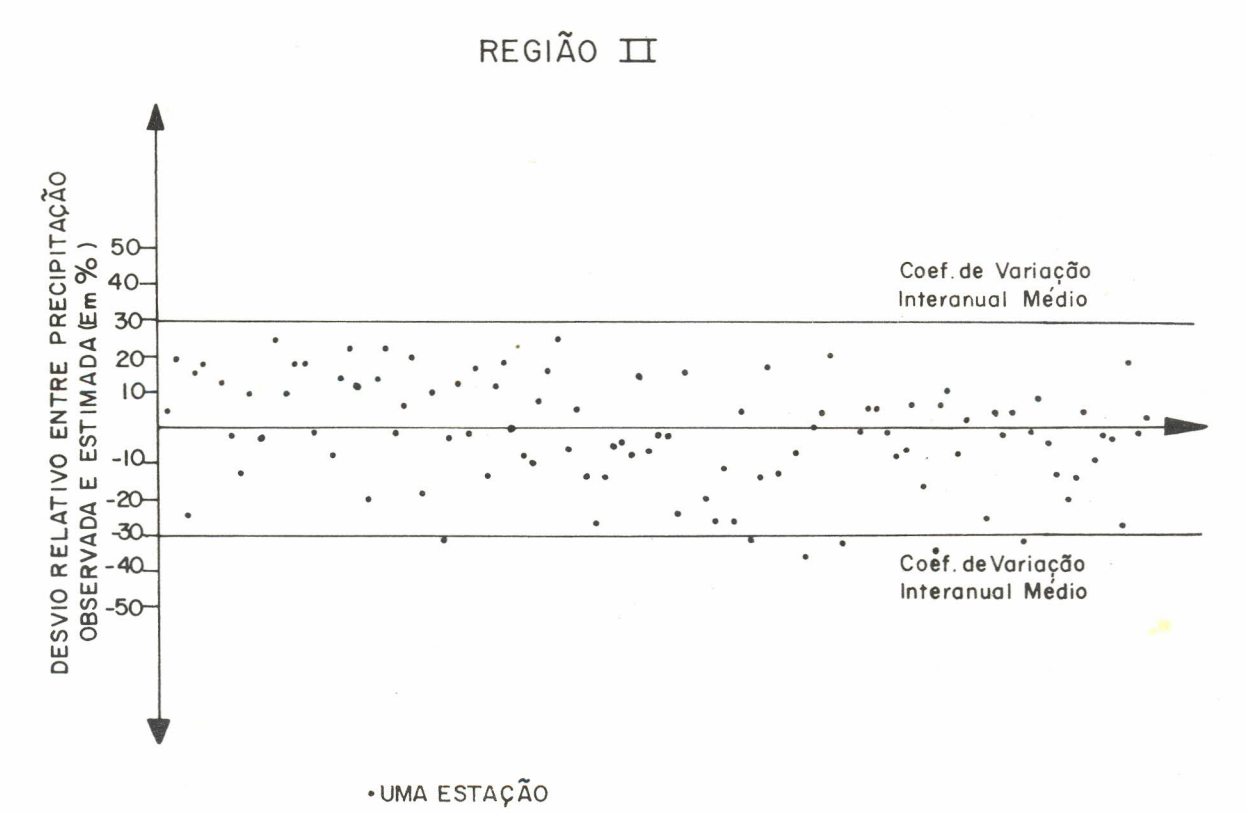
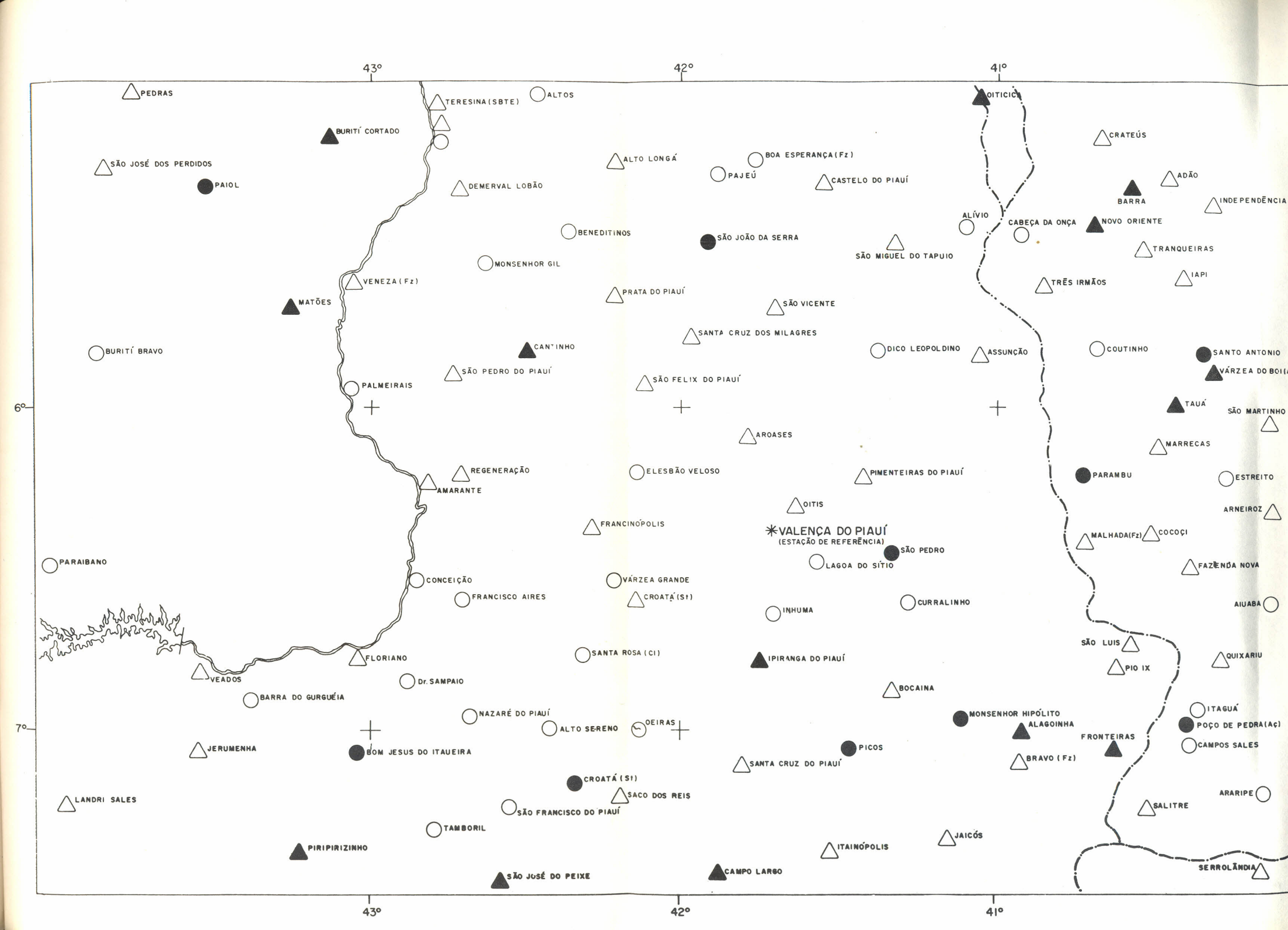


FIGURA 8 -VARIAÇÃO RESIDUAL DO MODELO

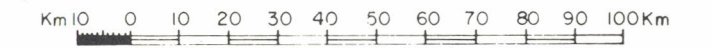


REGIÃO II

Distribuição Espacial dos Desvios entre a Precipitação Observada e Estimada

Região de Valença

ESCALA



LEGENDA

Desvios Absolutos em %

0 a 10 —
$$\triangle$$

MAPA - 8

Desenho: Carlos Ramos

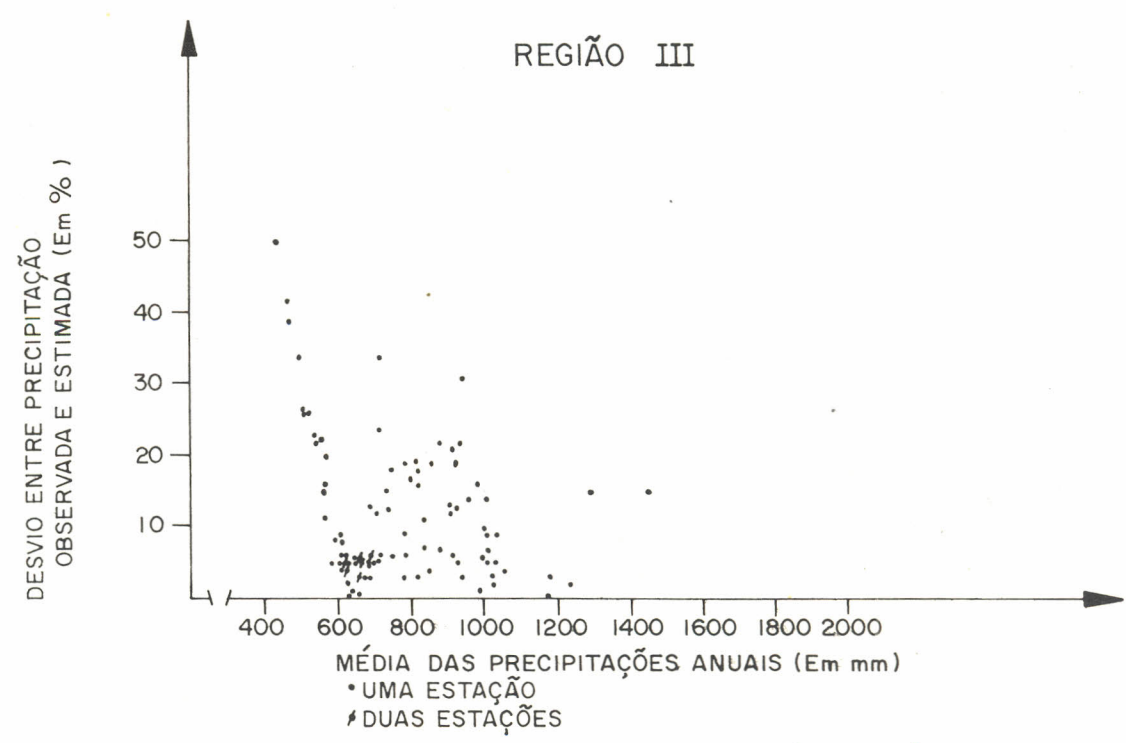


FIGURA 9 - RELAÇÃO ENTRE DESVIO DA ESTIMAÇÃO E A MÉDIA DAS PRECIPITAÇÕES ANUAIS

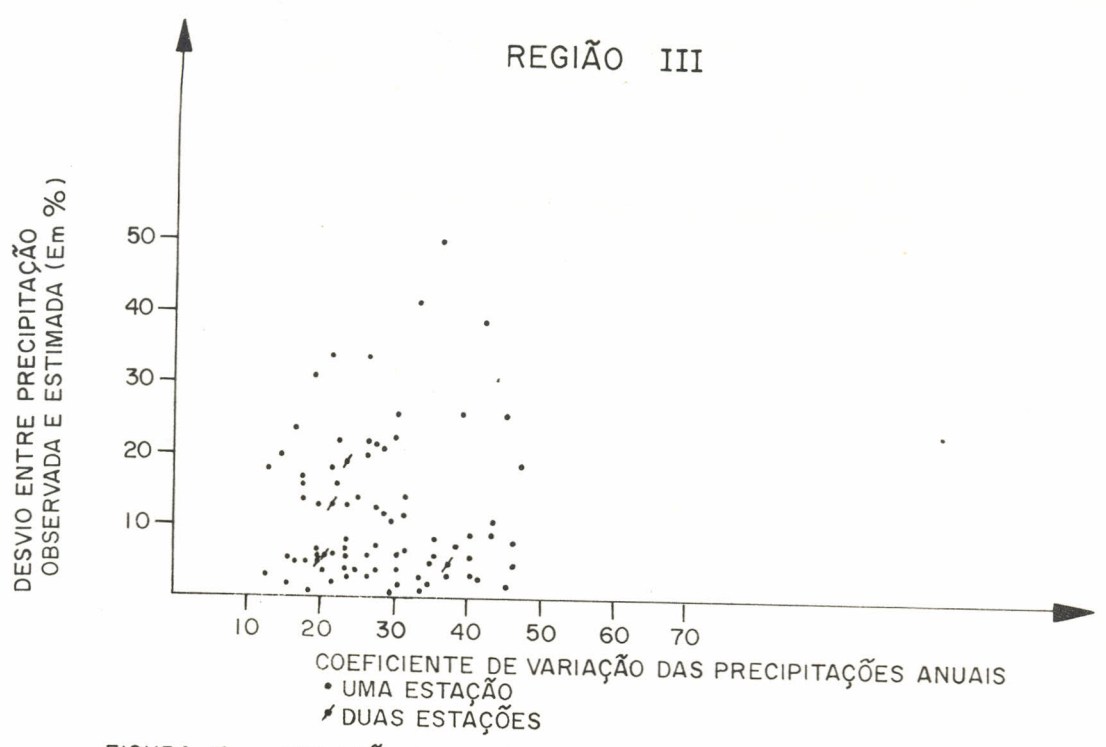


FIGURA 10 - RELAÇÃO ENTRE O DESVIO DA ESTIMAÇÃO E O COEFICIENTE DE VARIAÇÃO DAS PRECIPITAÇÕES ANUAIS

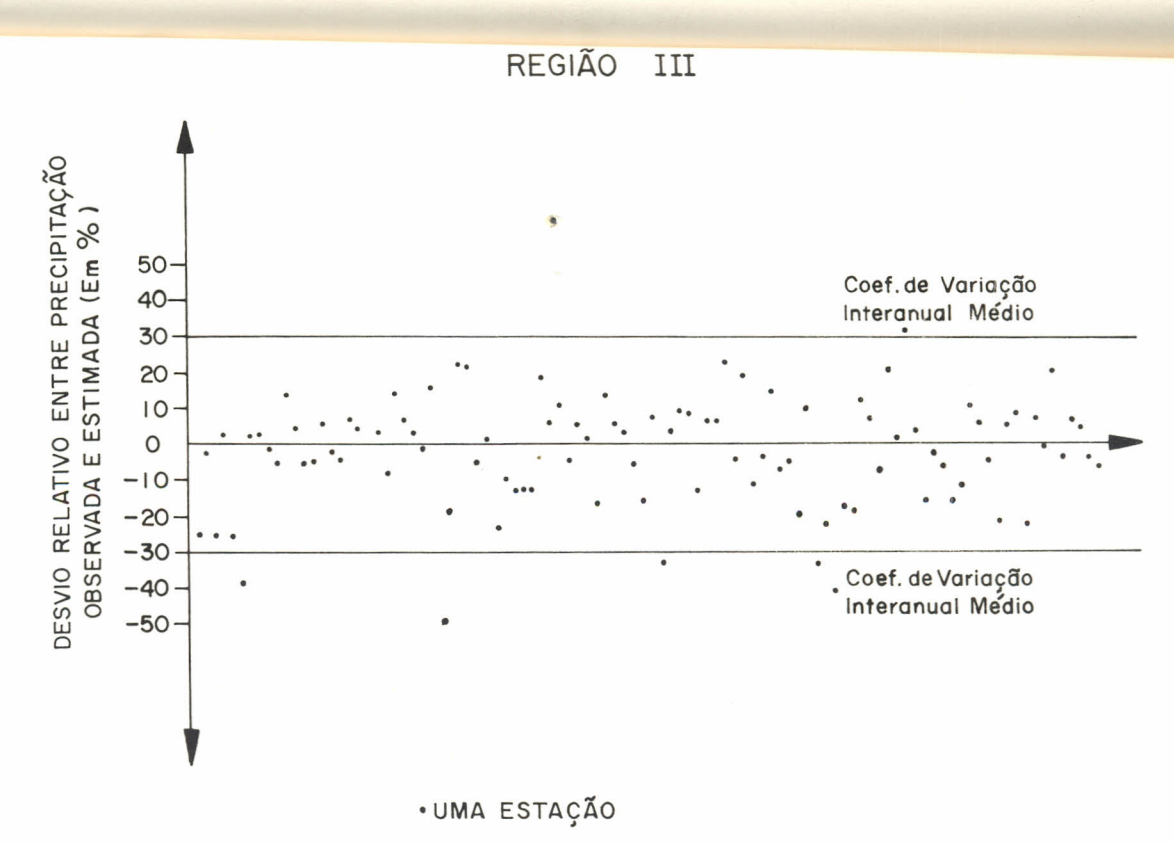
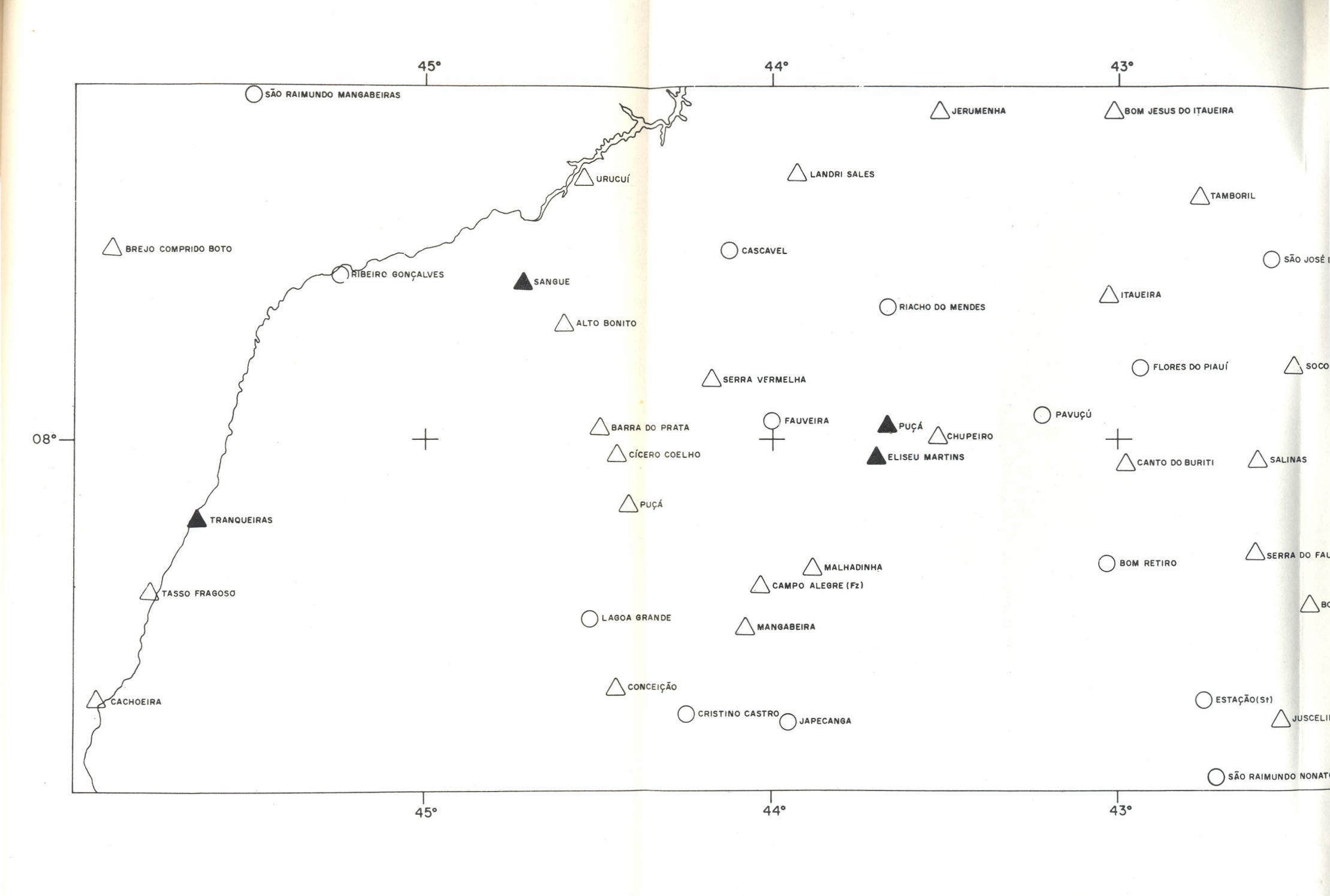
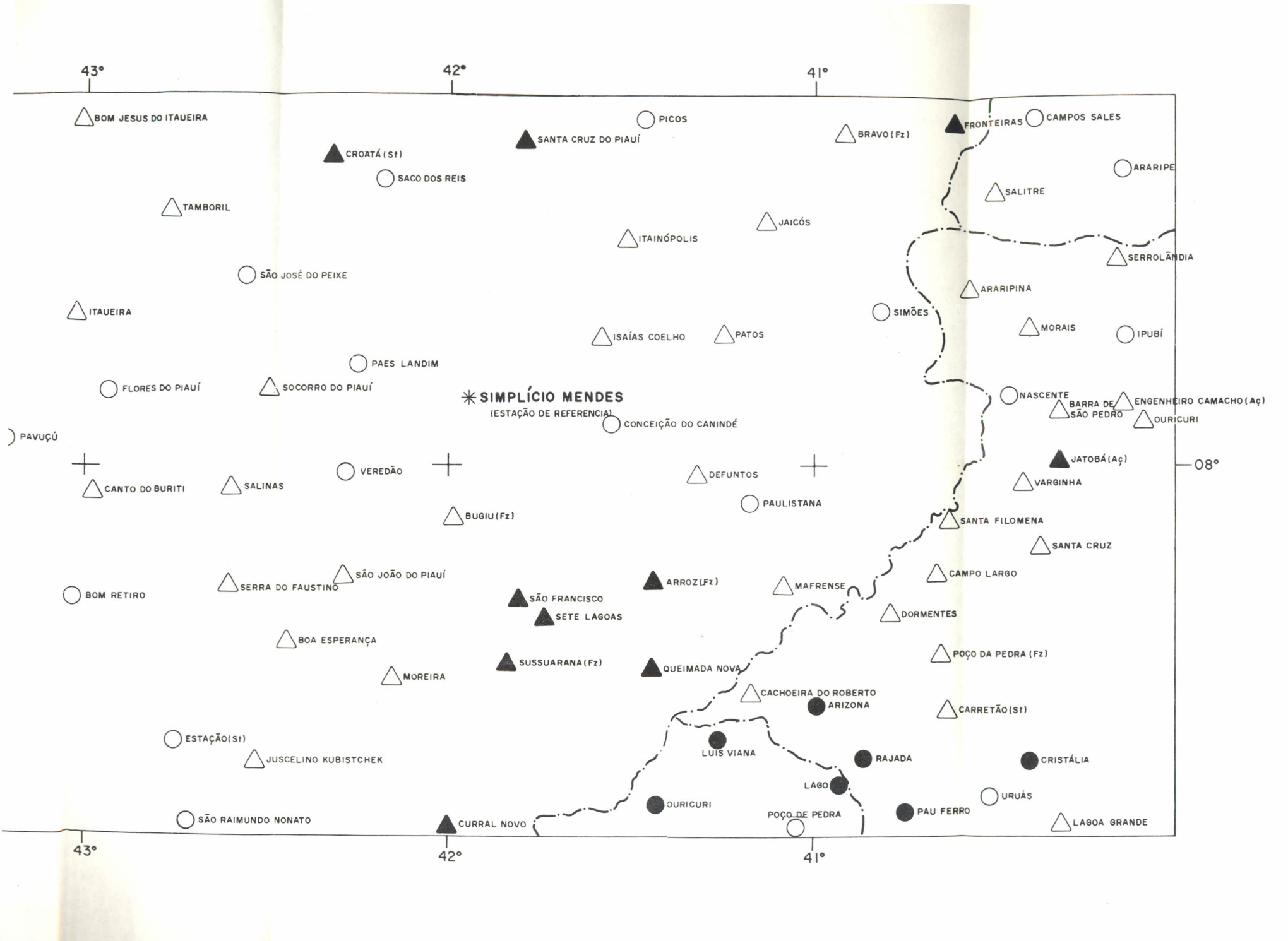


FIGURA II - VARIAÇÃO RESIDUAL DO MODELO



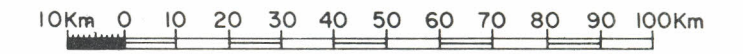


REGIÃO III

Distribuição Espacial dos Desvios entre a Precipitação Observada e Estimada

Região de Simplício Mendes

ESCALA



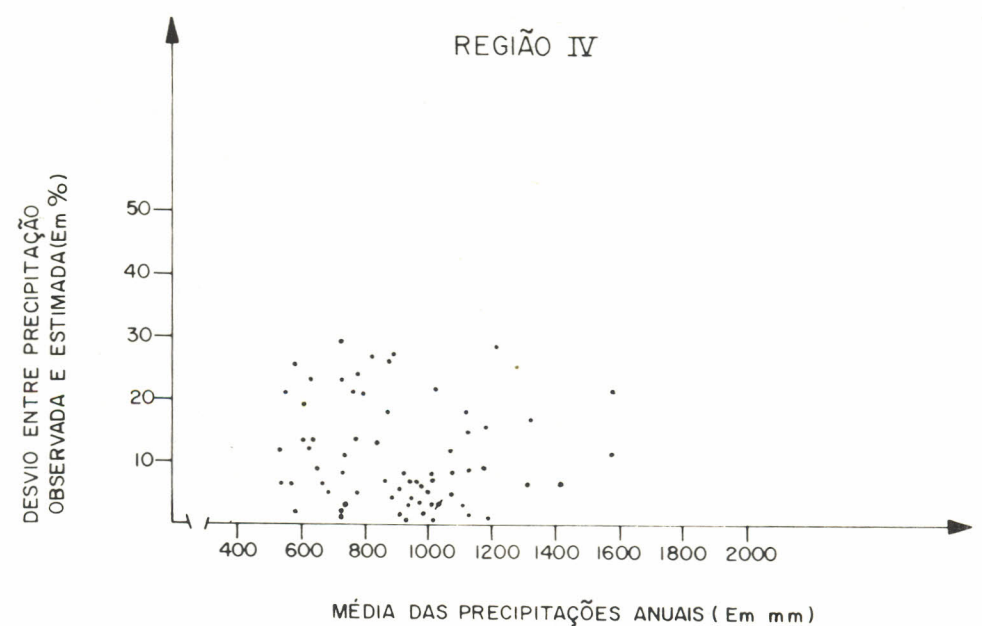
LEGENDA

Desvios Absolutos em %

10 a 20 - O 20 a 30 - A >30 -

MAPA - 9

Desenho: FRANCISCO FONTINELLE



• UMA ESTAÇÃO ✓ DUAS ESTAÇÕES

FIGURA 12 - RELAÇÃO ENTRE DESVIO DA ESTIMAÇÃO E A MÉDIA DAS PRECIPITAÇÕES ANUAIS

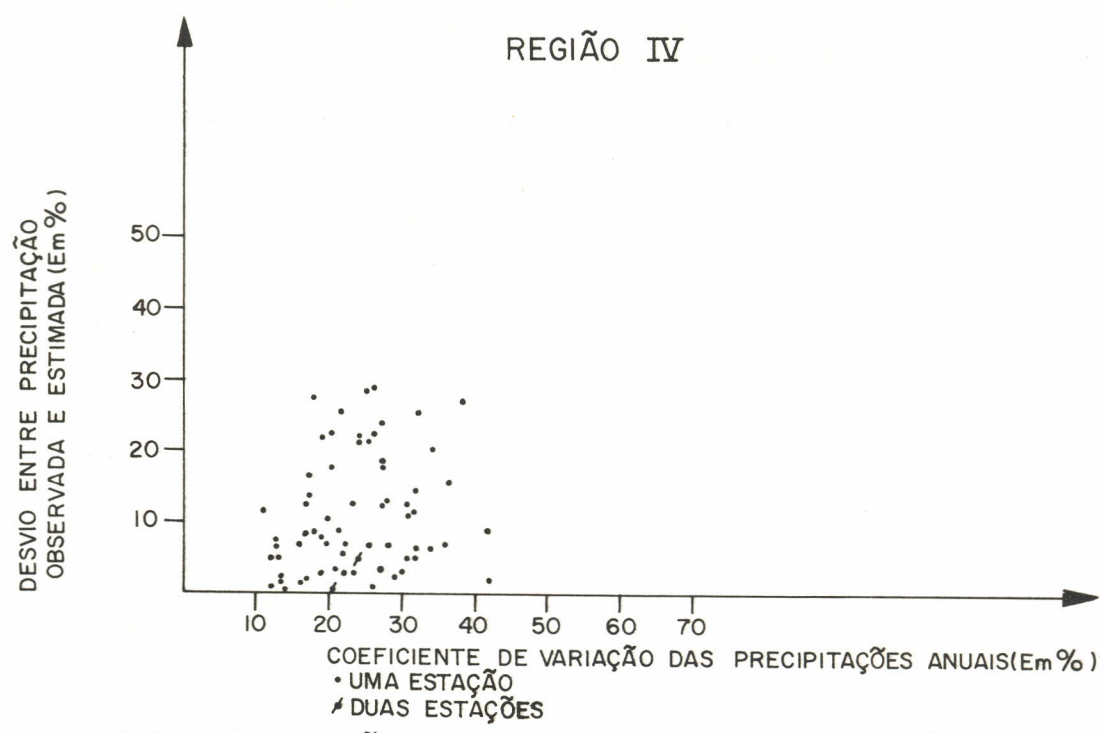
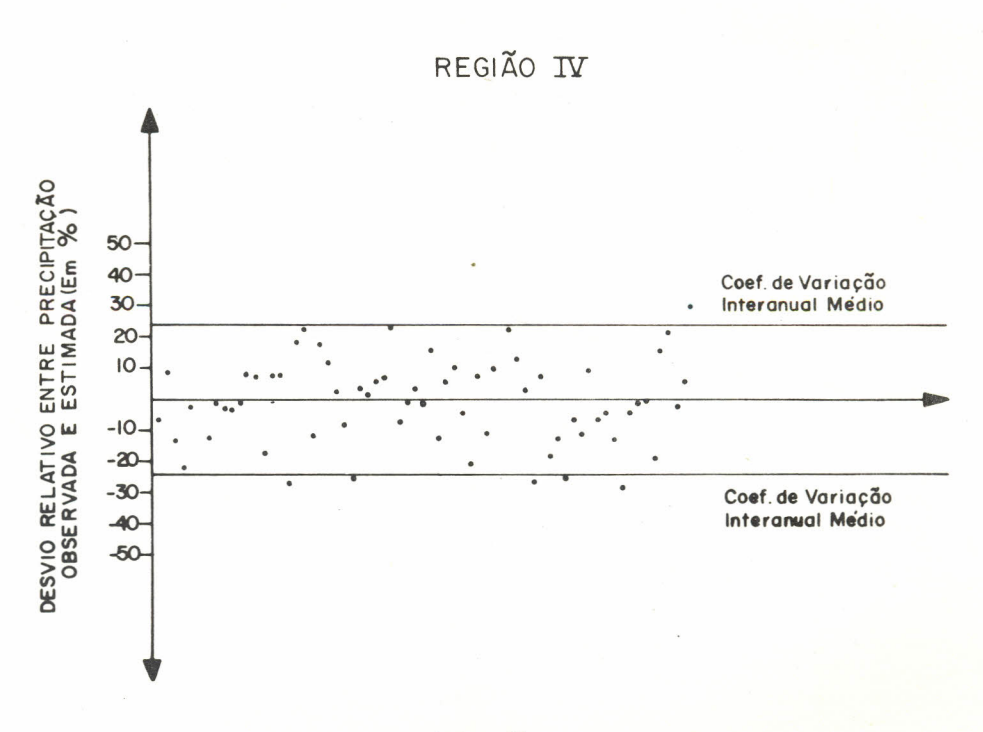
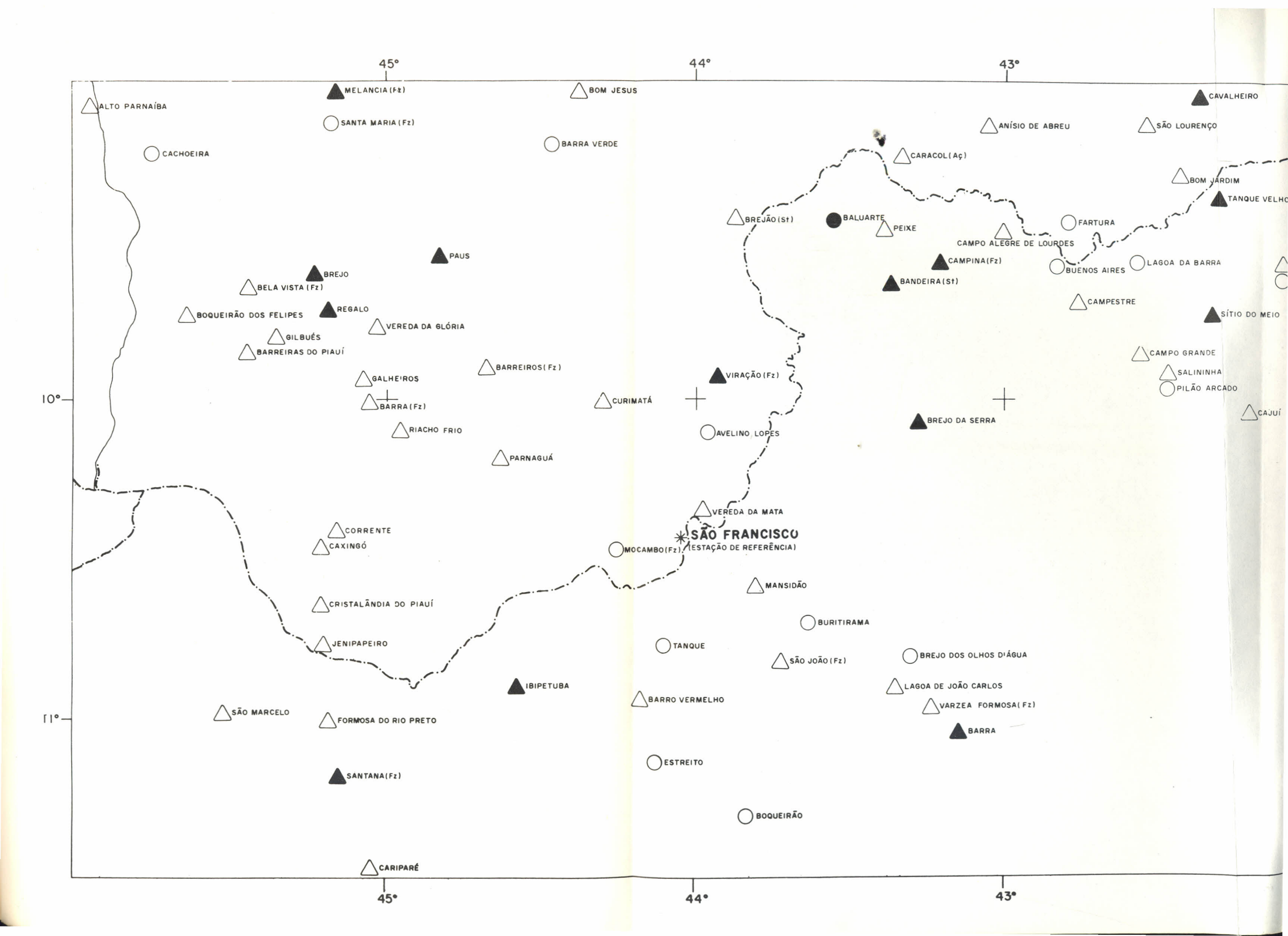


FIGURA 13 - RELAÇÃO ENTRE O DESVIO DA ESTIMAÇÃO E O COEFICIENTE DE VARIAÇÃO DAS PRECIPITAÇÕES ANUAIS



•UMA ESTAÇÃO
FIGURA 14 -VARIAÇÃO RESIDUAL DO MODELO

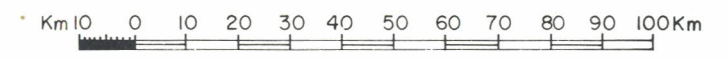


REGIÃO IV

Distribuição Espacial dos Desvios entre a Precipitação Observada e Estimada

Região de São Francisco

ESCALA



LEGENDA

Desvios Absolutos em %

0 a 10 - △
10 a 20 - ○
20 a 30 - ▲
> 30 - ●

MAPA-IO

Desenho: FRANCISCO FONTINELLE

5. CONCLUSÃO

O presente trabalho indica que, mesmo para escalas da ordem de 1/1.000.000, a repartição espacial das precipitações anuais no Estado do Piauí não é aleatória. Os métodos desenvolvidos permitem a seleção dos parâmetros espaciais significativos para a identificação dos padrões de distribuição geográfica das chuvas, assim como o seu ajuste através de modelos estatísticos.

Alguém interessado em estimar o nível das precipitações anuais para qualquer ponto de cada uma das quatros (4) regiões estudadas poderá obter sua altura através dos mapas Hipsométricos do IBGE (1/1.000.000) ou da SUDENE (1/1.00.000) e seu ângulo com a estação de referência, através de uma leitura direta com a ajuda de um transferidor.

Em síntese, chamamos a atenção para o fato de que se tra ta de uma primeira a proximação matemática do se nomeno, através de equações do primeiro grau, fáceis de serem utilizadas. O prosseguimento deste trabalho de pesquisa deverá permitir a elaboração de modelos mais complexos (matematicamente) e mais ajustados, inclusive para os níveis mensais de precipitação. Todavia, os modelos obtidos podem permitir uma estimativa das precipitações locais mais satisfatória do que a realizável pela simples interpolação de isoietas.

6. BIBLIOGRAFIA

- ASSOCIATION FRANÇAISE POUR LA CYBERNÉTIQUE ECONOMIQUE ET TECHNIQUE, Paris, França. Modélisation et maî trise des systemes; techniques, économiques, so siaux. Paris, Hommes et Téchniques, 1977. 2v.
- BOX, G. E. P.; HUNTER, W. G. & HUNTER, J. S. Statis tics for experimenters; an introduction to design data analysis, and model building. New York, J. Wiley, 1978. 653p. il.
- BRASIL. SUDENE. Departamento de Recursos Naturais.

 Recursos naturais do Nordeste; investigação e potencial (Sumário das atividades). 3.ed. Recife, PE, 1979. 165p. il.
- DRAPER, N. R. & SMITH, H. Applied regression analy sis. New York, J. Wiley, 1966. 407p. il.
- FUNDAÇÃO IBGE. Departamento de Cartografia, Rio de Janeiro, RJ. <u>Brasil: carta internacional do mundo</u> ao milionésimo. Rio de Janeiro, 1972. lv. il.
- MIRANDA, E. E. de & OLIVEIRA, C. A. V. Aplicação de modelos estatísticos para estimar a disponibilidade de de água meteórica em localidades sem pluviôme tro no trópico semi-árido. Petrolina, PE., EMBRAPA-CPATSA, 1981.
- MIRANDA, E. E. de. & OLIVEIRA, C. A. V. <u>Um método</u> simples para estimar as precipitações anuais em <u>lo calidades sem pluviômetro do trópico</u> semi-árido. Petrolina, PE., EMBRAPA-CPATSA, 1981, 29p.

- MIRANDA, E. E. de & OLIVEIRA, C. A.V.. Um modelo empírico-lógico para estimação da variabilidade espacial das precipitações anuais na região semi-árida do Nordeste. In: CONGRESSO BRASILEIRO DE AGROMETE OROLOGIA, 2., Pelotas, RS, 1981. Anais. Pelotas, RS., Sociedade Brasileira de Agrometeorologia, 1981. p.3-6.
- NIMER, E. <u>Pluviometria e recursos hídricos dos esta</u>
 <u>dos de Pernambuco e Paraíba</u>. Rio de Janeiro, RJ,
 SUPREN, 1979. 117p. il. (BRASIL SUPREN. Série Re
 cursos Naturais e Meio Ambiente, 3).
- MIRANDA, E. E. de; OLIMPIO, J. A. & BARROS, R. J. S.

 <u>Pados plúvio anuais do Estado do Piauí métodos</u>
 <u>e resultados</u>. Teresina, PI, CEPA-PI, 1981 (Série
 Zoneamento Agroecológico. Doc. 01).

SUMÁRIO

1 -	F	RESUMO5
2 -	(OBJETIVOS E HIPÕTESES11
3-	1	MĒTODOS16
	3	3.1 - Análise dos Dados Disponíveis16
	. :	3.2 - Obtenção de Dados Complementares17
	3	3.3 - Construção dos Modelos28
4	-	RESULTADOS30
		4.1 - Modelos Obtidos
		4.2 - Teste dos Modelos32
5	-	CONCLUSÃO6
6	-	BIBLIOGRAFIA6
7	_	SIIMĀRIO